

小惑星モデルについての検討 - 局所的詳細化及び係るレンダリング手法 -

三浦 昭*, 坂谷 尚哉*, 横田 康弘*, 本田 理恵†

*宇宙航空研究開発機構宇宙科学研究所

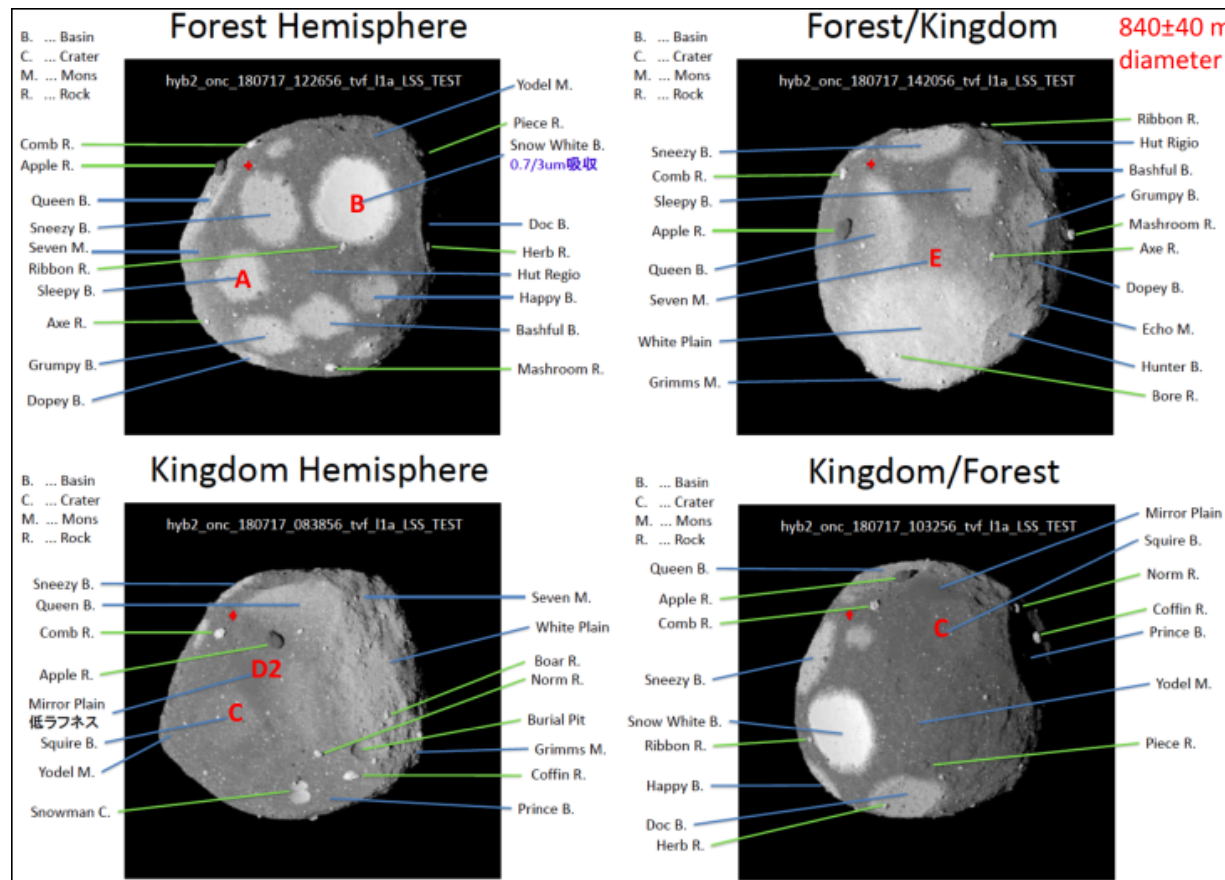
†高知大学

背景

- 「はやぶさ2」のリュウグウ近接運用
 - 訓練における模擬画像生成の必要性
 - 運用訓練(RIO)
 - タッチダウン地点の選定(LSS)
 - 模擬小惑星の作成(リュウゴイド)
 - 小惑星全体(～1km)を10～20cm程度のポリゴンで構成
 - 3億～4億ポリゴン
 - 理学観測にも耐えうる、地質や熱を考慮した小惑星モデル
- タッチダウンに向けて
 - 局所的な形状モデルを用いた訓練・評価
 - 目標分解能(ポリゴンサイズ): 1mm～2mm
 - 予想を超える、岩石質のリュウグウ表面

リュウゴイドの事例

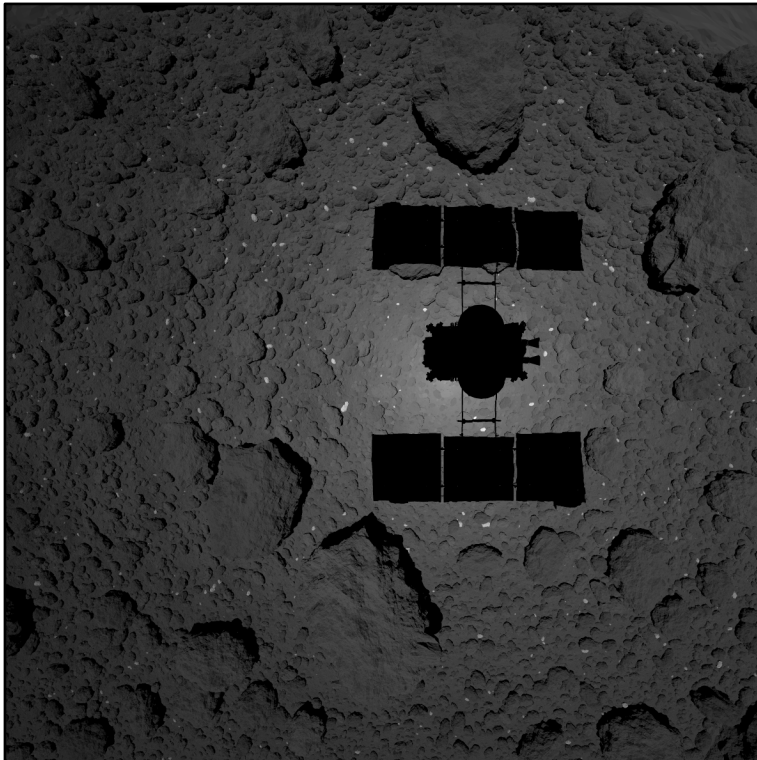
・レンダリング、LSS訓練事例



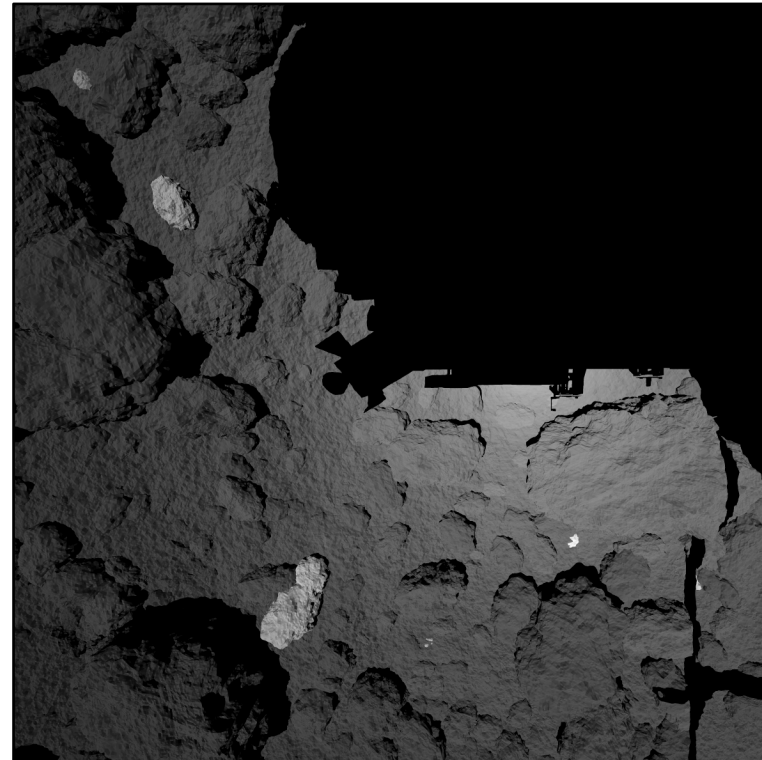
H. Yabuta, et al., "Hayabusa2 landing site selection (LSS) training: Summary report of scientific evaluation", 49th Lunar and Planetary Science Conference, Texas, March 2018.

本研究の立ち位置

- 訓練や事前評価のための模擬画像を生成する
 - 例: 近接撮像



距離: 10m



距離: 1m

A. Miura et al., “Simulation of proximity imaging of Ryugu’s surface during Hayabusa2 touch-down sequence”, DPS meeting #50, id.411.10, 2018.

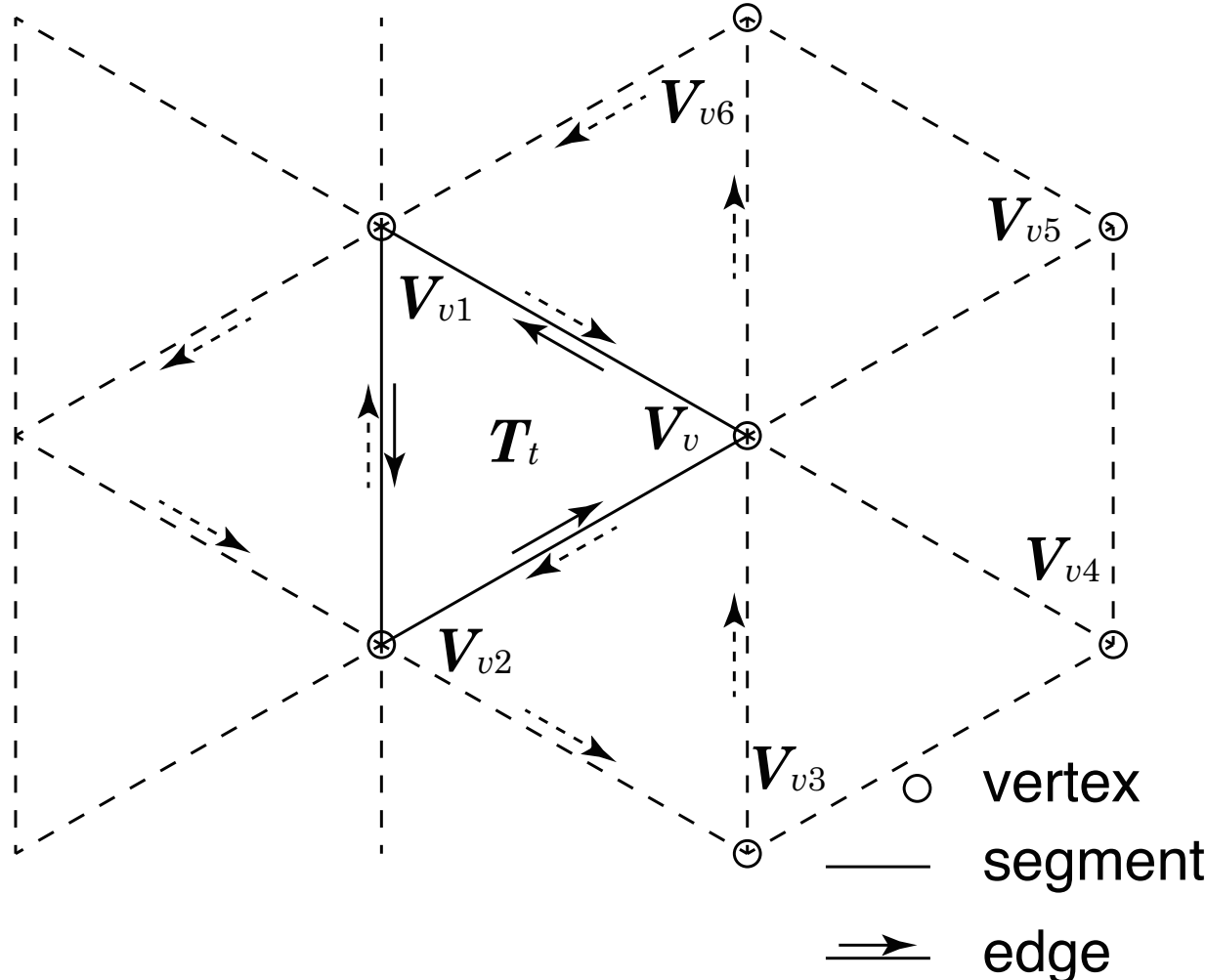
課題

- モデリング
 - 詳細化の目標(ポリゴンサイズ): 1~2mm
 - リュウゴイドの1/100程度
 - 現有システムにおける限界: 4億ポリゴン程度
 - 主記憶100~200GB
 - タッチダウン目標点近傍の, 局所的詳細化
- レンダリング
 - 光源(太陽, フラッシュランプ)
 - 地質(リュウグウの実態に即して)
 - ターゲットマーク, 等

- ・ 形状モデルの基本構造
- ・ 形状モデルの生成(基本)
- ・ 岩石類の生成
- ・ 詳細化の観点
- ・ 局所的詳細化
 - － 事例
 - － 本研究の手法

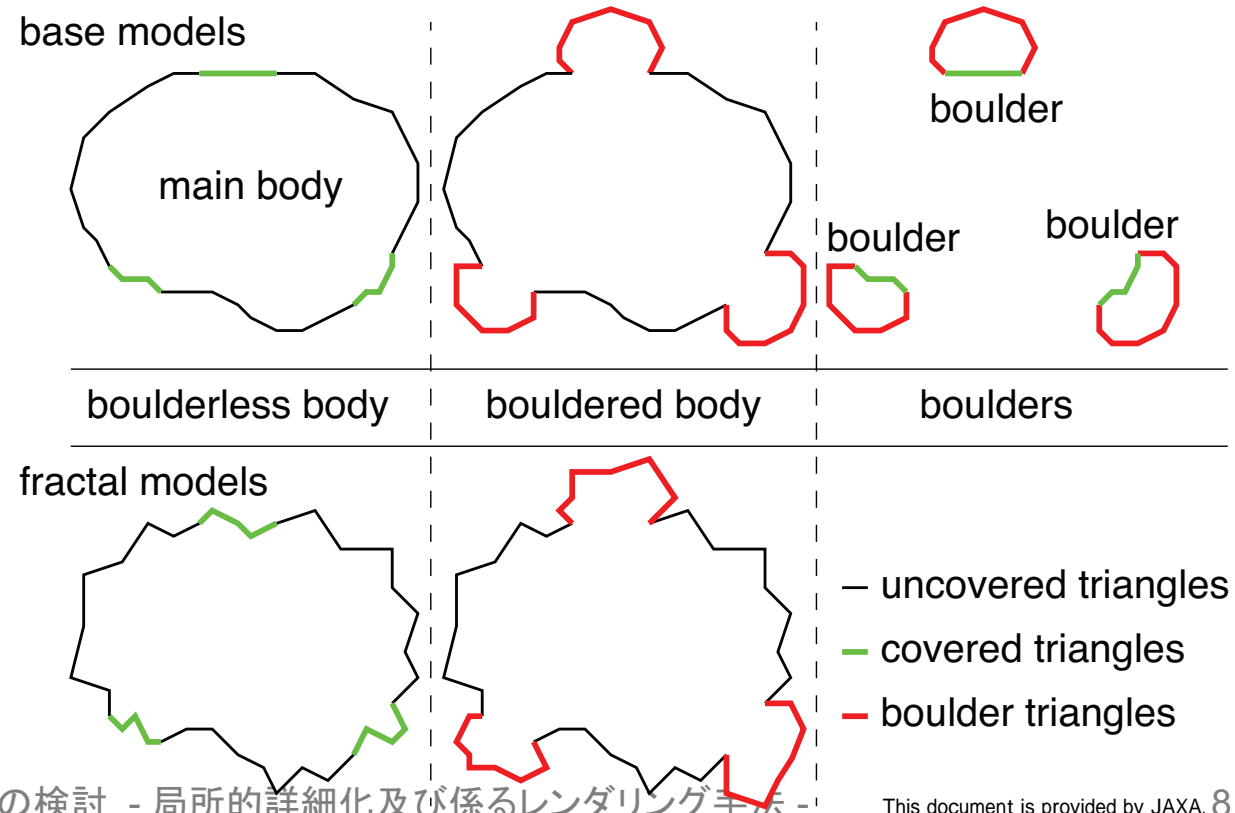
形状モデルの基本構造

- 頂点と辺を共有する三角形の集合体
 - 比較的均質な三角形を想定



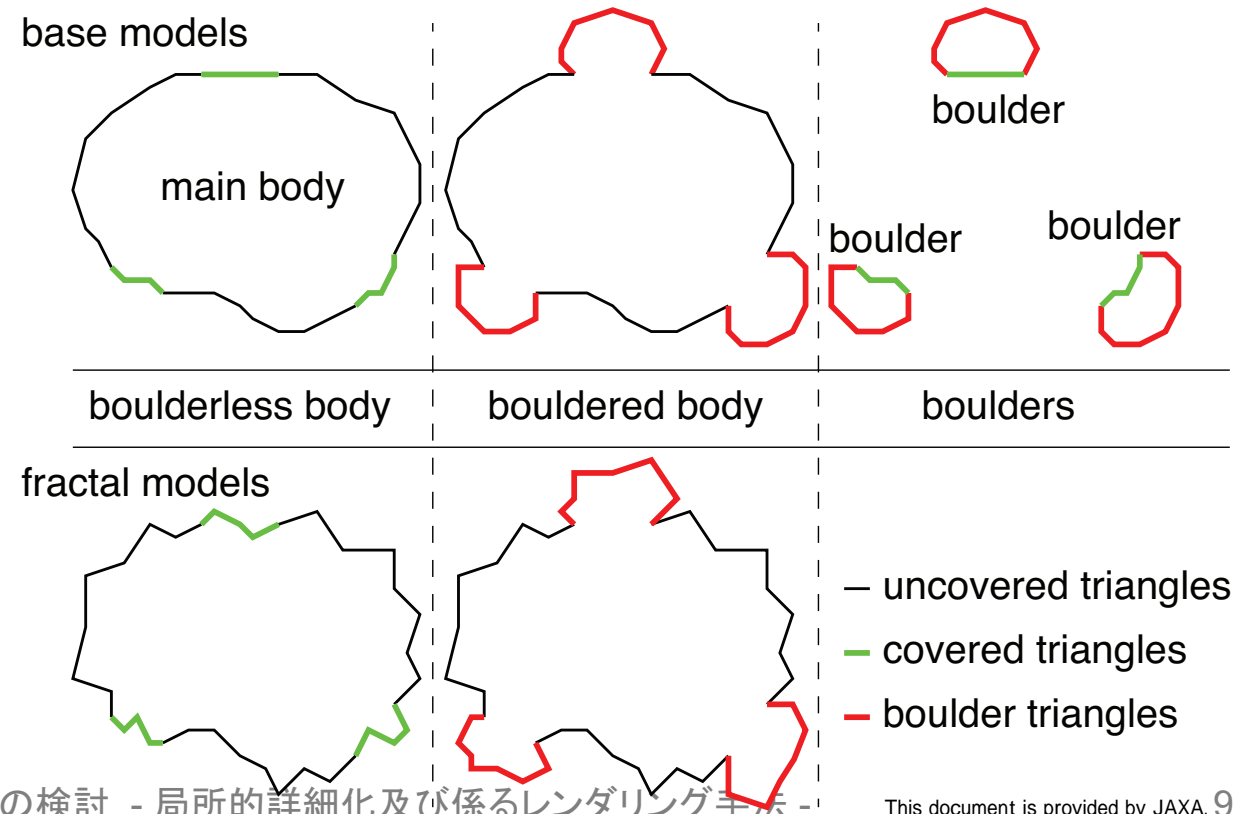
形状モデルの生成(基本はリュウゴイドと共通)

- 1つの形状モデルから用途に応じて生成
 - ベースとなる形状モデル
 - フラクタルを付加した形状モデル
 - 小惑星本体の形状モデル
 - 岩石の形状モデル
 - 両者の組み合わせ



形状モデルの生成(基本はリュウゴイドと共通)

- ・ 小惑星本体と岩石類とがポリゴンを共有
- ・ 小惑星本体のポリゴンを基準に岩石類を生成



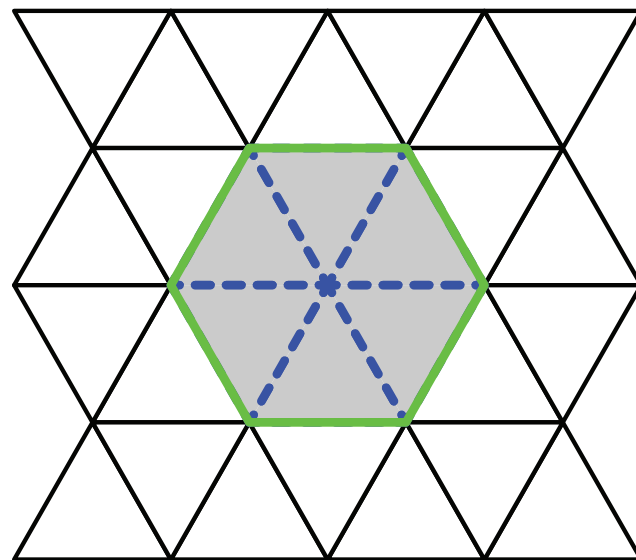
岩石類の生成

- 生成
 - リュウゴイドの事例
 - 本手法
- 配置
 - 実測に基づく配置
 - 分布則に基づく配置
 - フラクタル近似

岩石類の生成

- ・ 小惑星本体のポリゴンに接続するように生成

Top View



(1) Surface of the body

- △ Uncovered Triangles
- △ Triangles of the Boulder
- △ Triangles covered with the Boulder
- - - Segments covered with the Boulder
- Marginal Segments

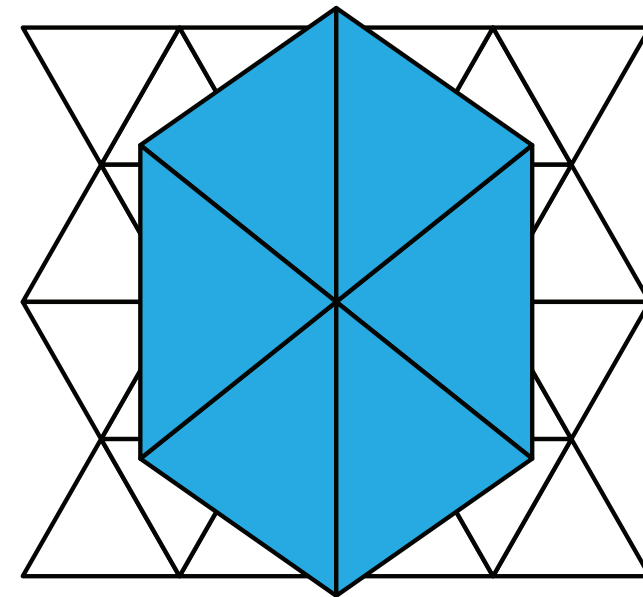
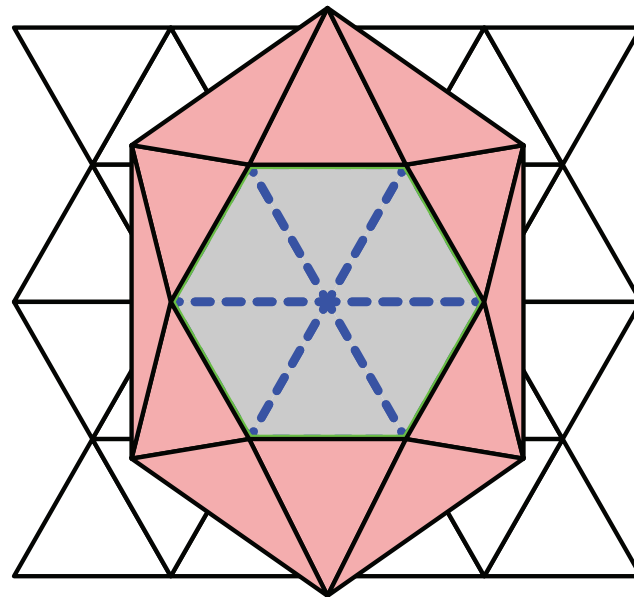
岩石類の生成

- リュウゴイドの事例

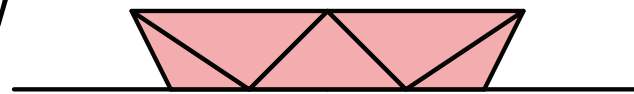
- 2層構造

- 岩石を構成するポリゴンが大きくなりがち

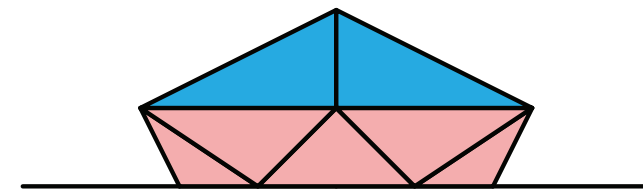
Top View



Side View



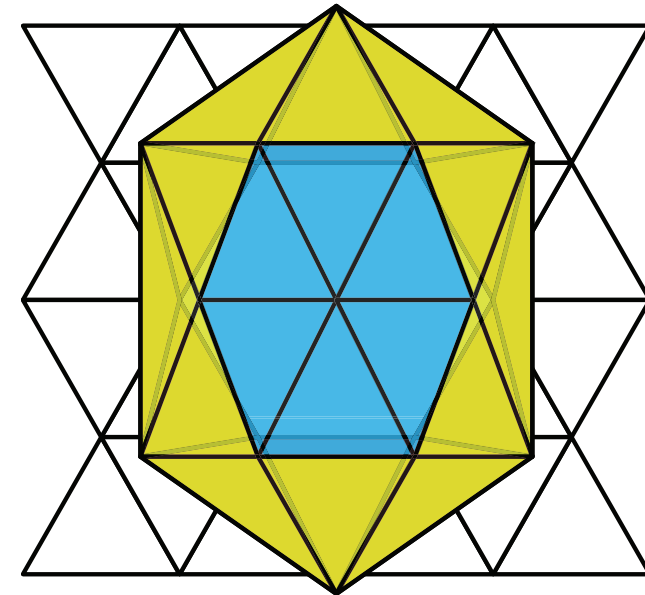
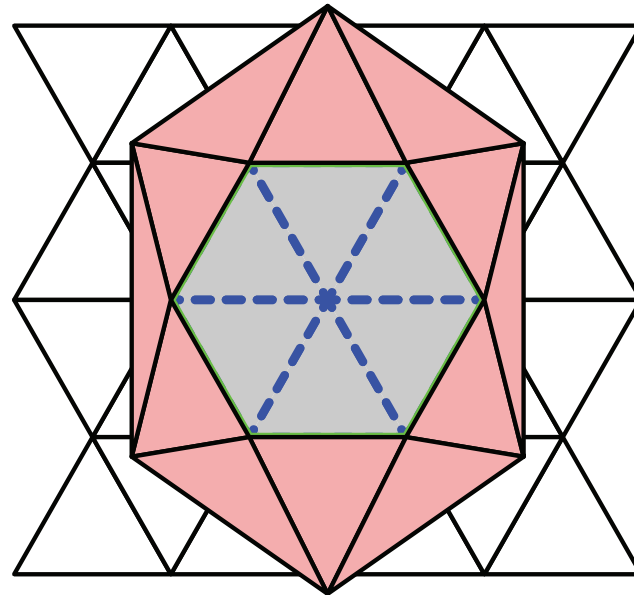
(2) Boulder (Lower Layer)



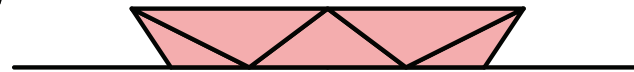
(3) Boulder (the whole shape)

- 本手法
 - 3層構造を導入
 - ポリゴンサイズの均質化

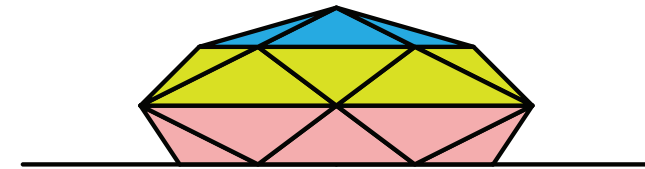
Top View



Side View



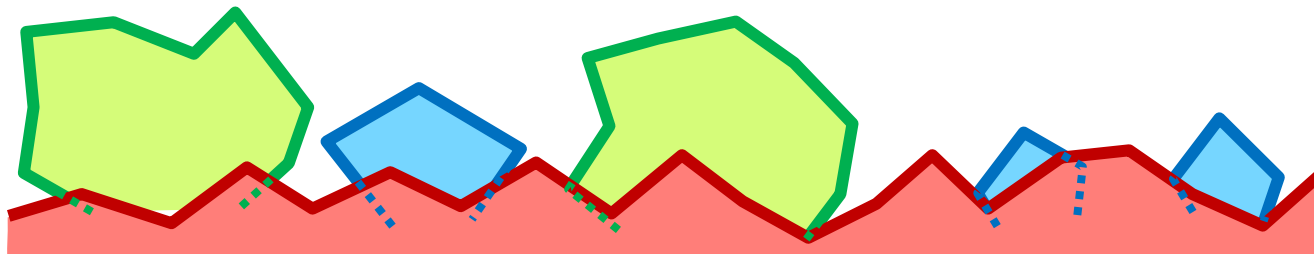
(2) Boulder (Lower Layer)



(3) Boulder (The whole shape)

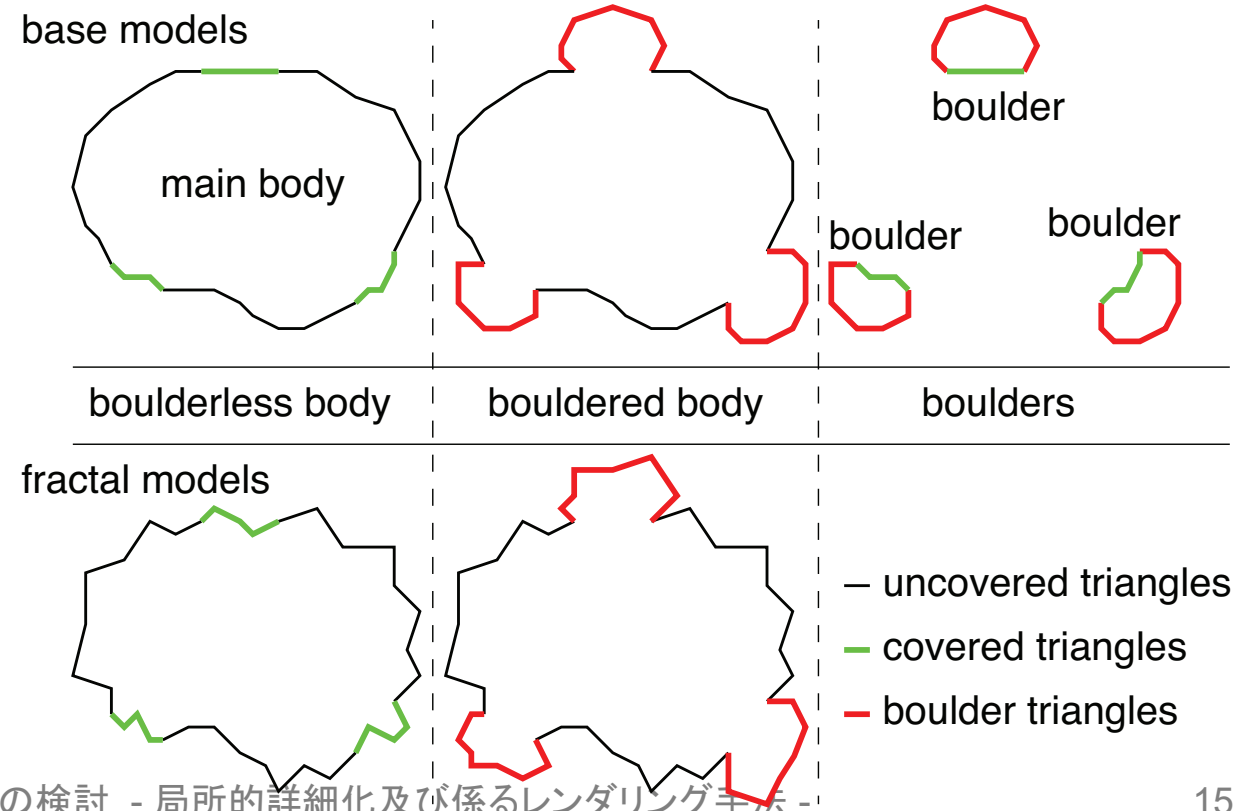
岩石類の配置

- 大型($\geq 1\text{m}$)
 - 実測の位置・方向・サイズに基づいて岩石を生成
 - 詳細な凹凸はランダムに決定
- 中型($\geq 10\text{cm}$)
 - 分布則に基づいて岩石をランダムに生成
 - 位置・方向・詳細な凹凸はダンタムに決定
- 小型($\leq 10\text{cm}$)
 - フラクタル形状での代用
 - 分布則に従うと、飽和する



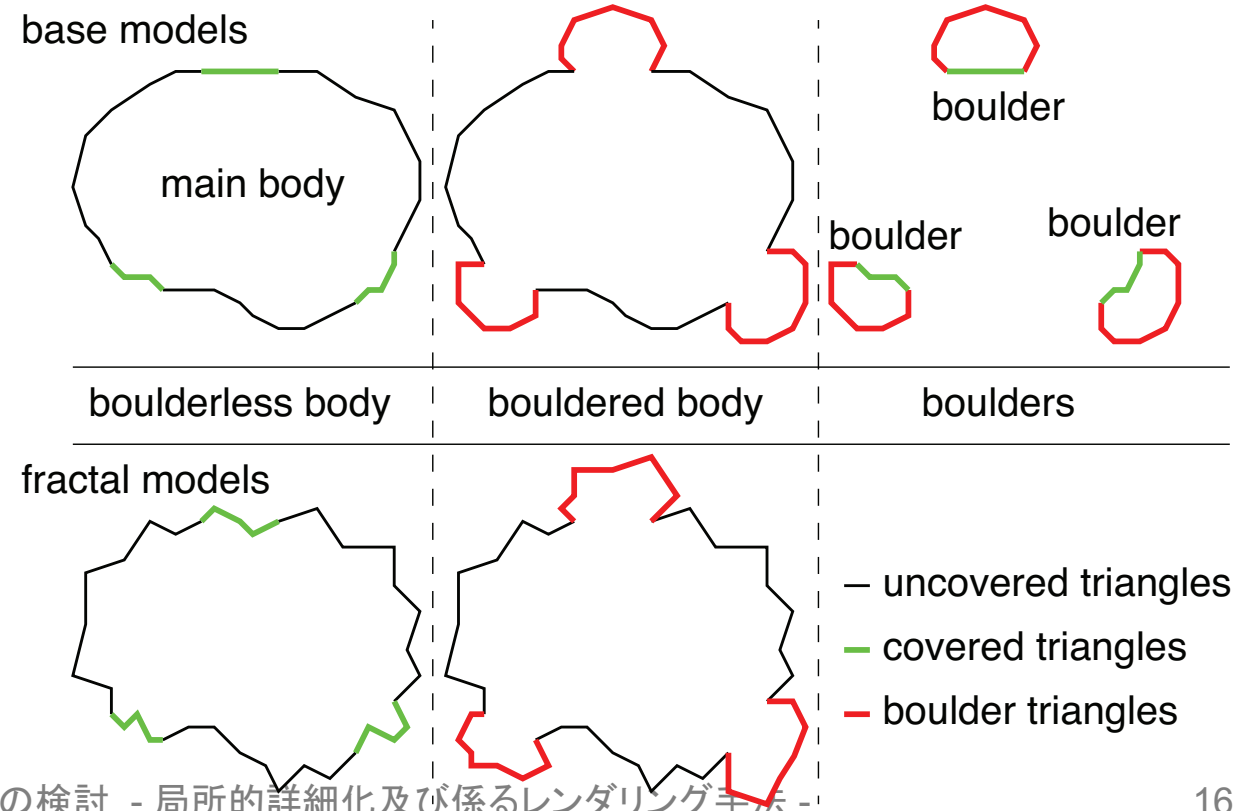
形状モデルの生成(基本はリュウゴイドと共通)

- ベースとなる形状モデル
 - 細分化+スマージング
 - 小惑星本体の細分化+スマージング
 - 岩石の細分化+スマージング



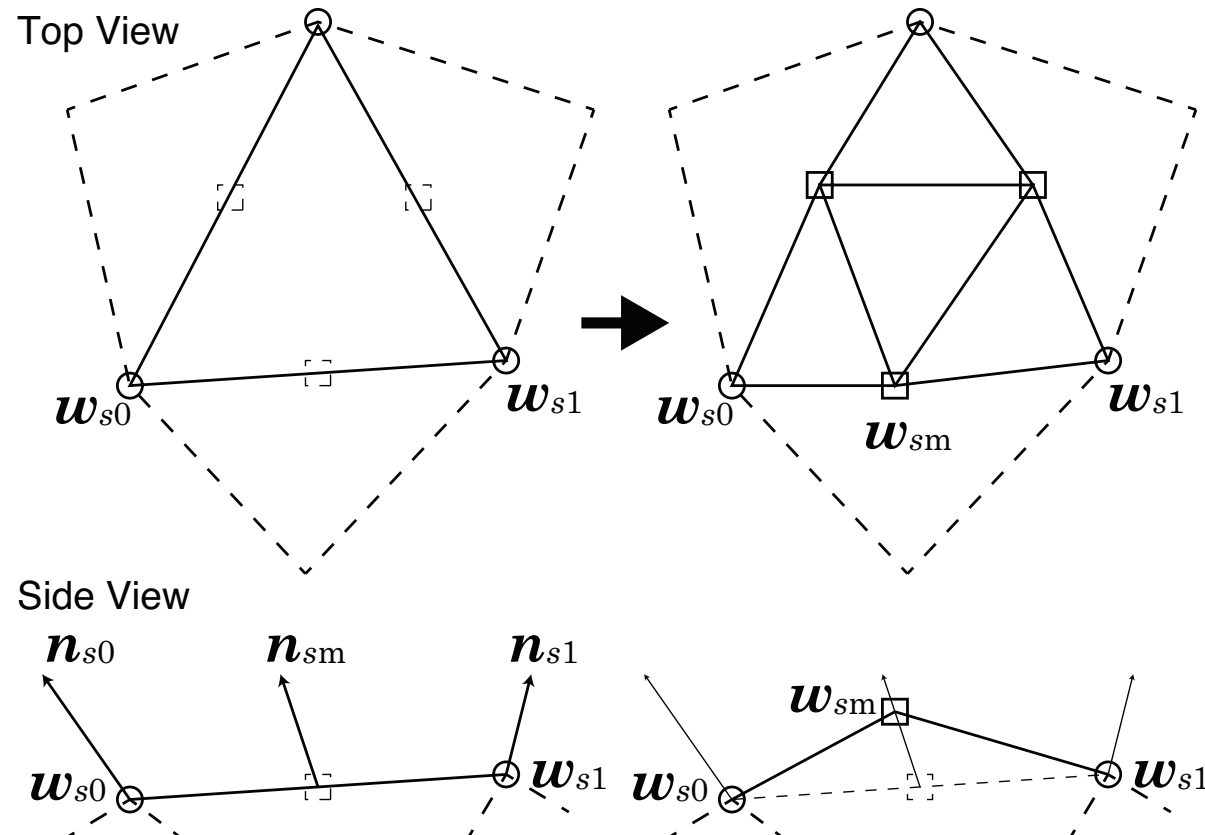
形状モデルの生成(基本はリュウゴイドと共通)

- ・ フラクタルを付加した形状モデル
 - ベースモデルに対してフラクタルを付加
 - ・ 小惑星本体: フラクタル+スマージング
 - ・ 岩石: フラクタル



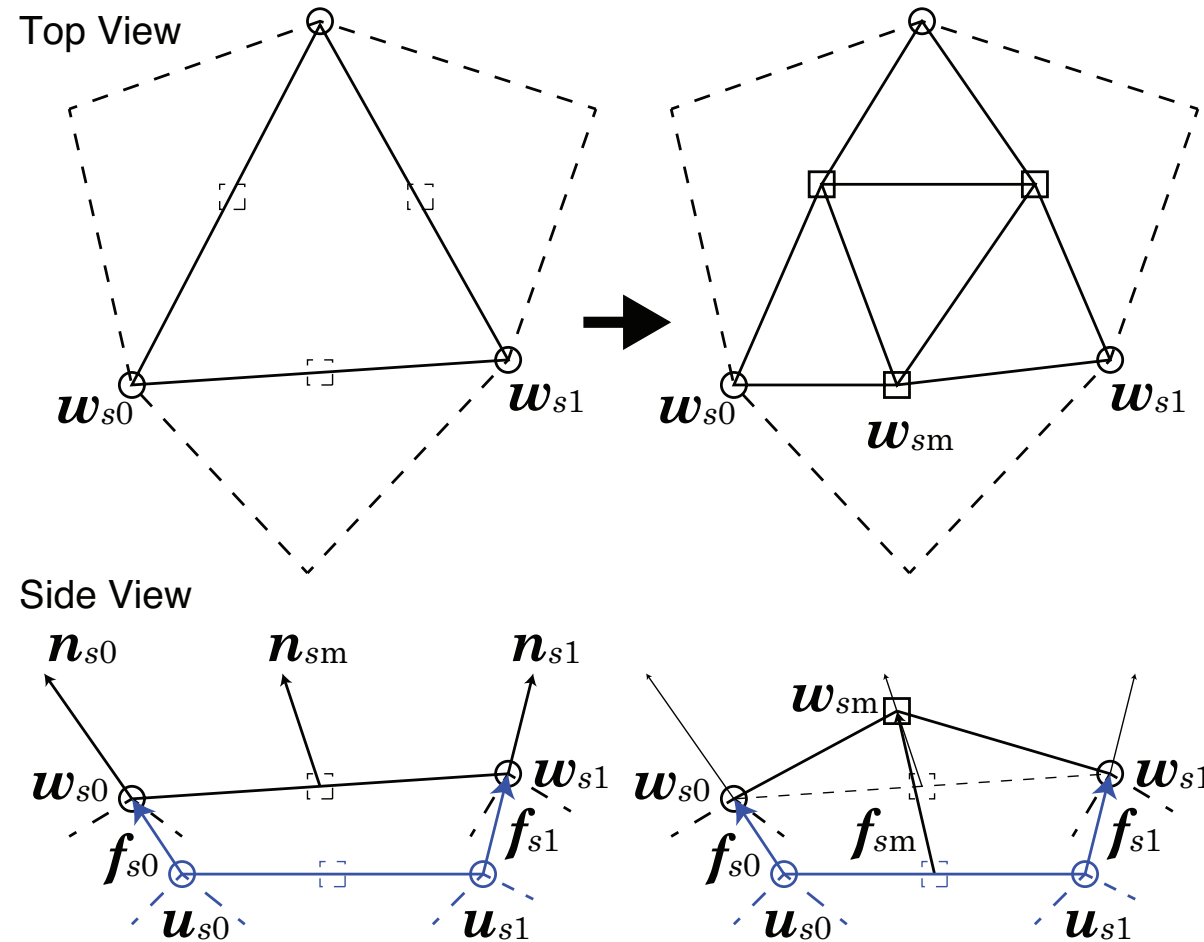
詳細化の観点

- ・ フラクタルを用いた詳細化
 - 中点変位法



詳細化の観点

- ・ フラクタルを用いた詳細化
 - u_{si} : ベースモデルの頂点. n_{si} : ベースモデルの法線



詳細化の観点

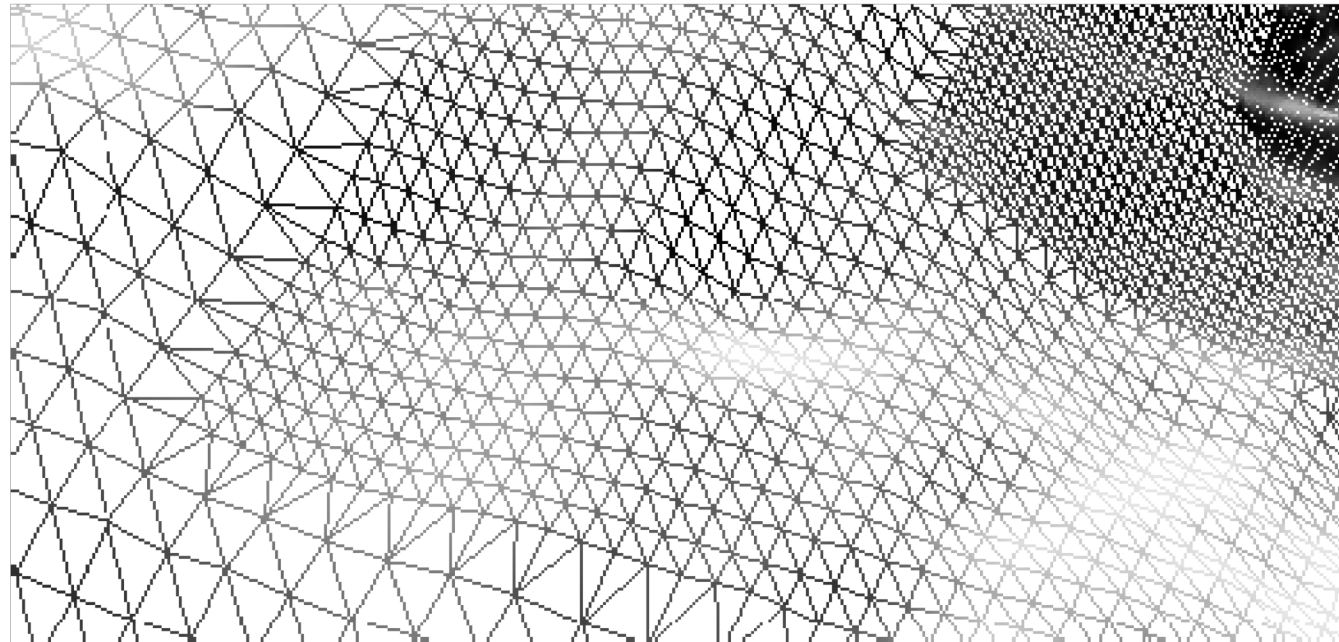
- フラクタルを用いた詳細化
 - 中点変位法
 - 原則として均質なポリゴン構成とする
 - 不規則なポリゴン形状を細分化すると、元の形状が見え隠れする
- タッチダウン地点等、特に詳細化したい領域を指定
 - 詳細化の境界は、任意の形状を想定
 - 指定された領域のみ、詳細化を継続

局所的詳細化

- 事例
 - PANGU
 - チュリュモフ・ゲラシメンコ彗星
- 本研究の手法

詳細化事例

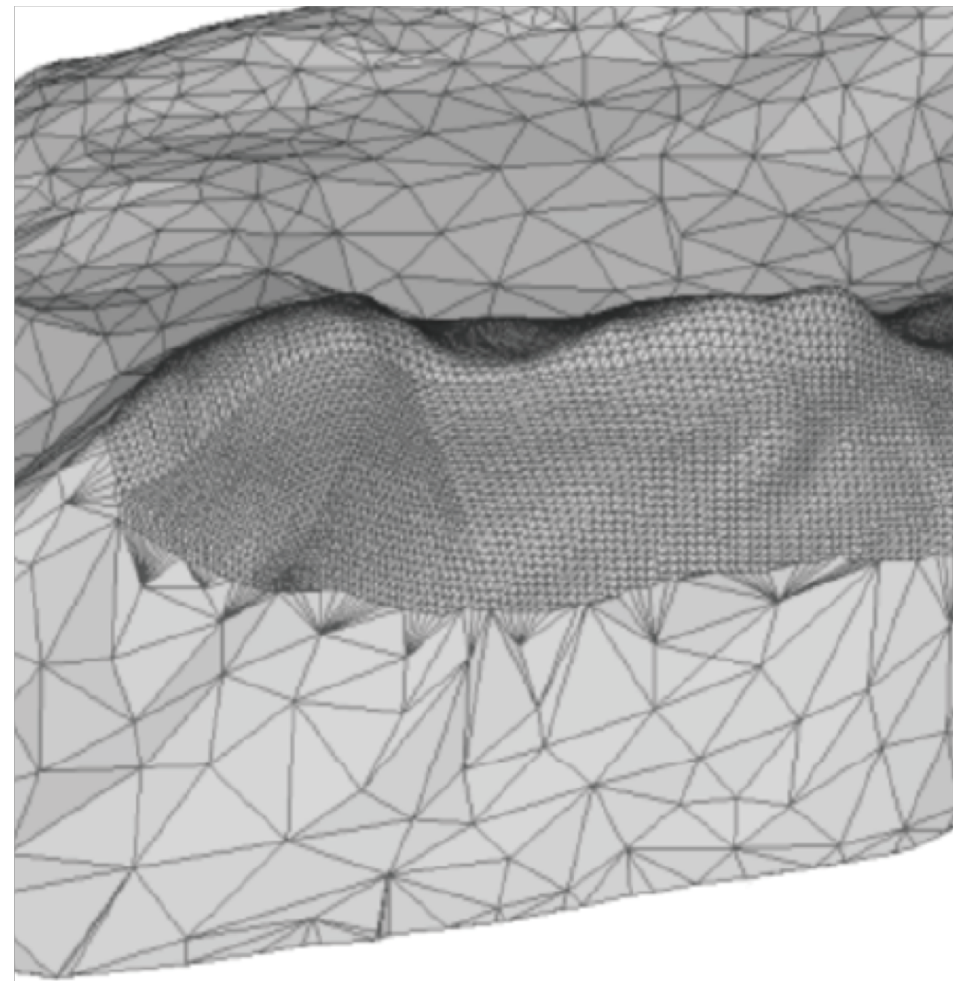
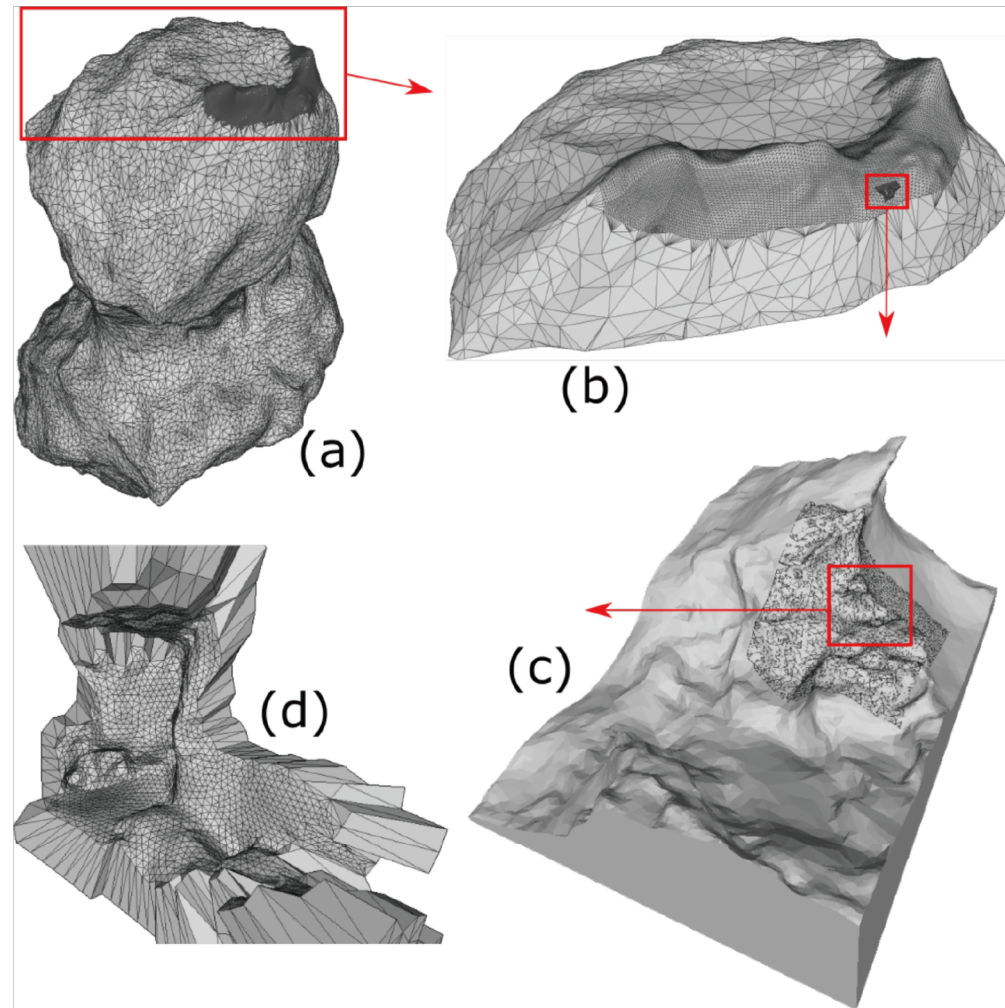
- PANGUを用いた事例
 - 四角形のタイルをベースとした細分化



Olivier Dubois-Matra, TESTING AND VALIDATION OF PLANETARY VISION BASED NAVIGATION SYSTEMS WITH PANGU, LSSFD, 2009.

詳細化事例

・ チュリュモフ・ゲラシメンコ彗星の例

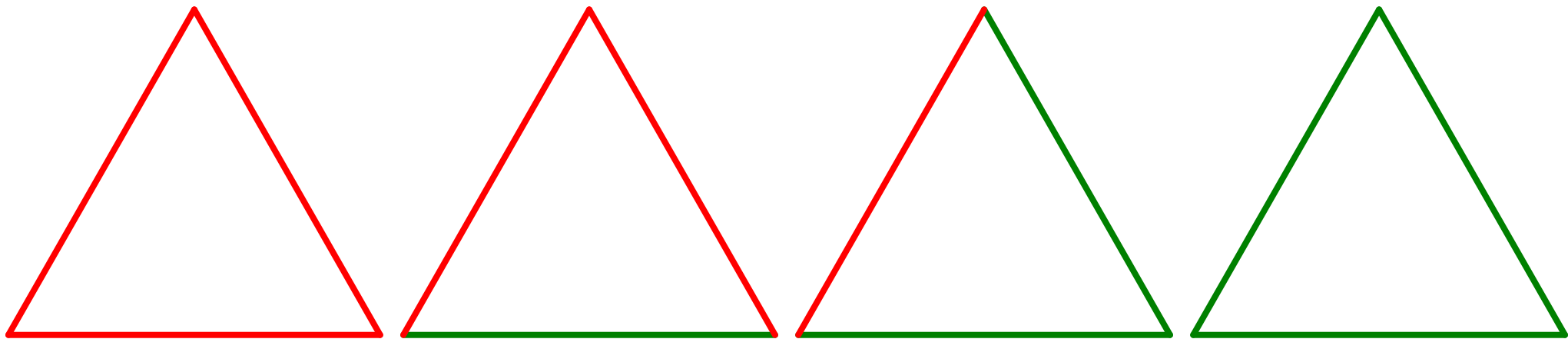


Norbert I. Kömle et al., Three-dimensional illumination and thermal model of the Abydos region on comet 67P/Churyumov–Gerasimenko, MNRAS 469, S2–S19 (2017)

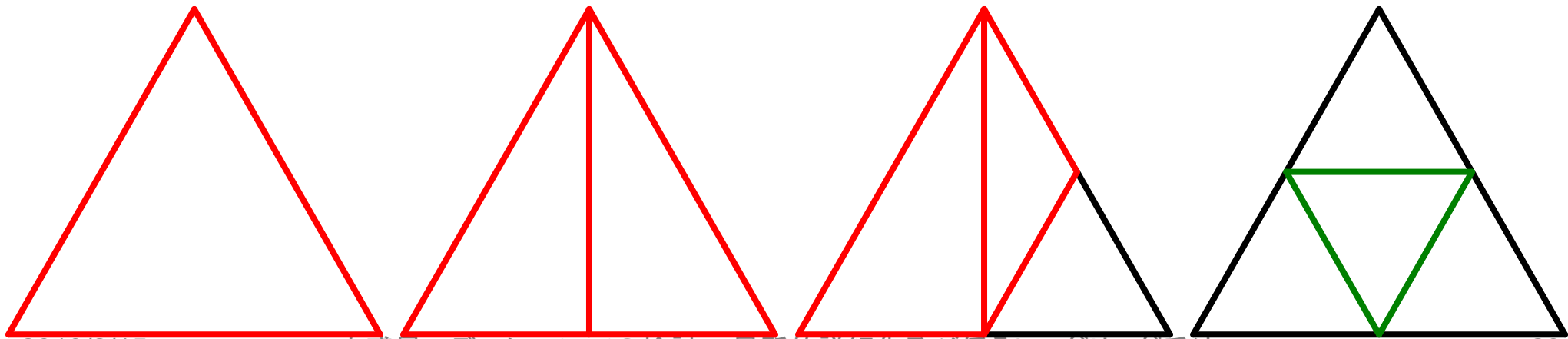
本研究の手法

—— 詳細化可
—— 詳細化不可

詳細化前



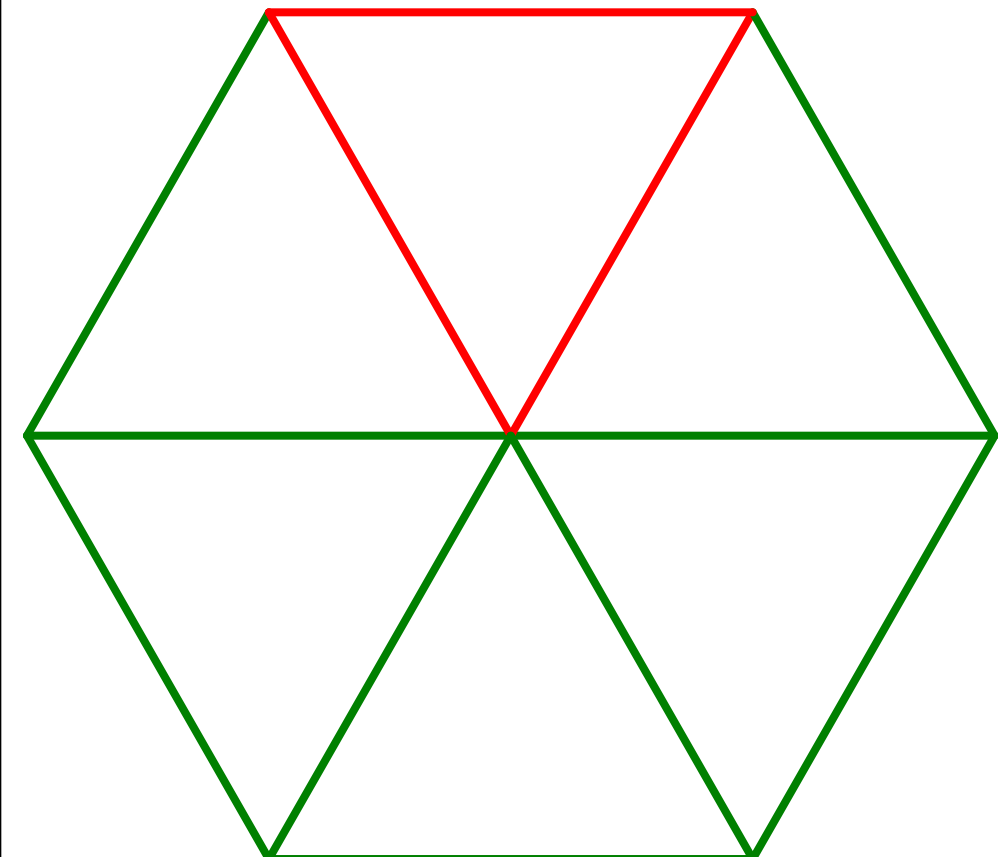
詳細化後



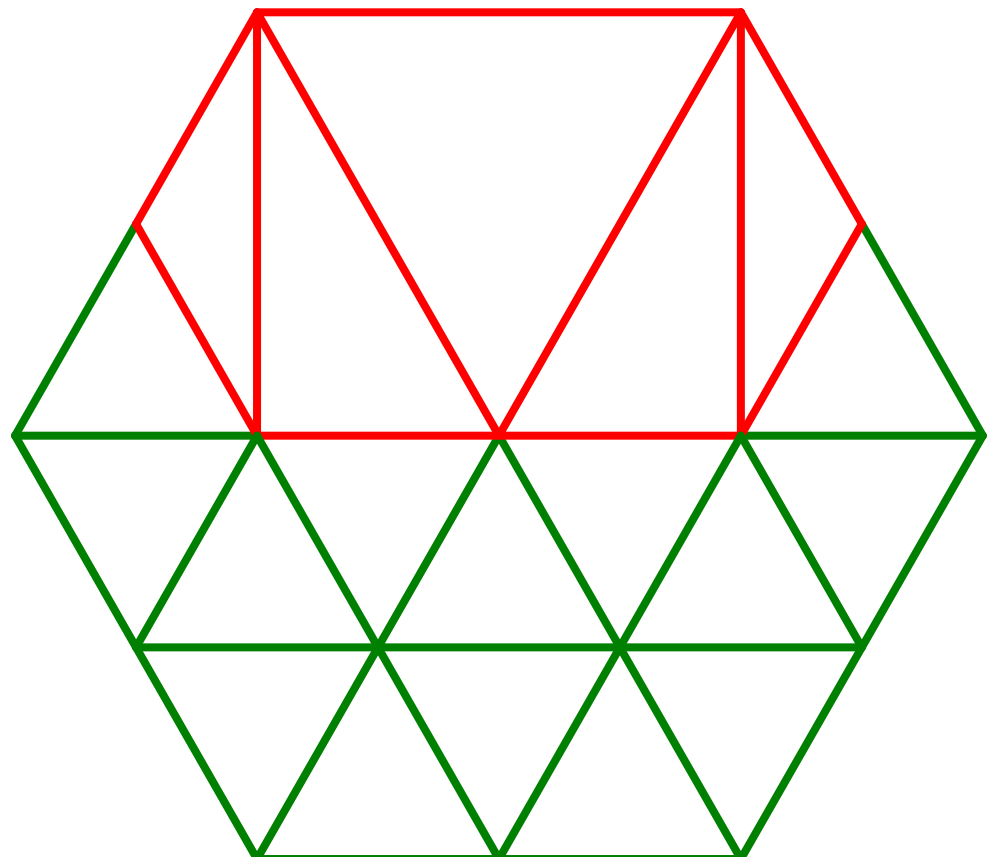
本研究の手法

—— 詳細化可
—— 詳細化不可

詳細化前



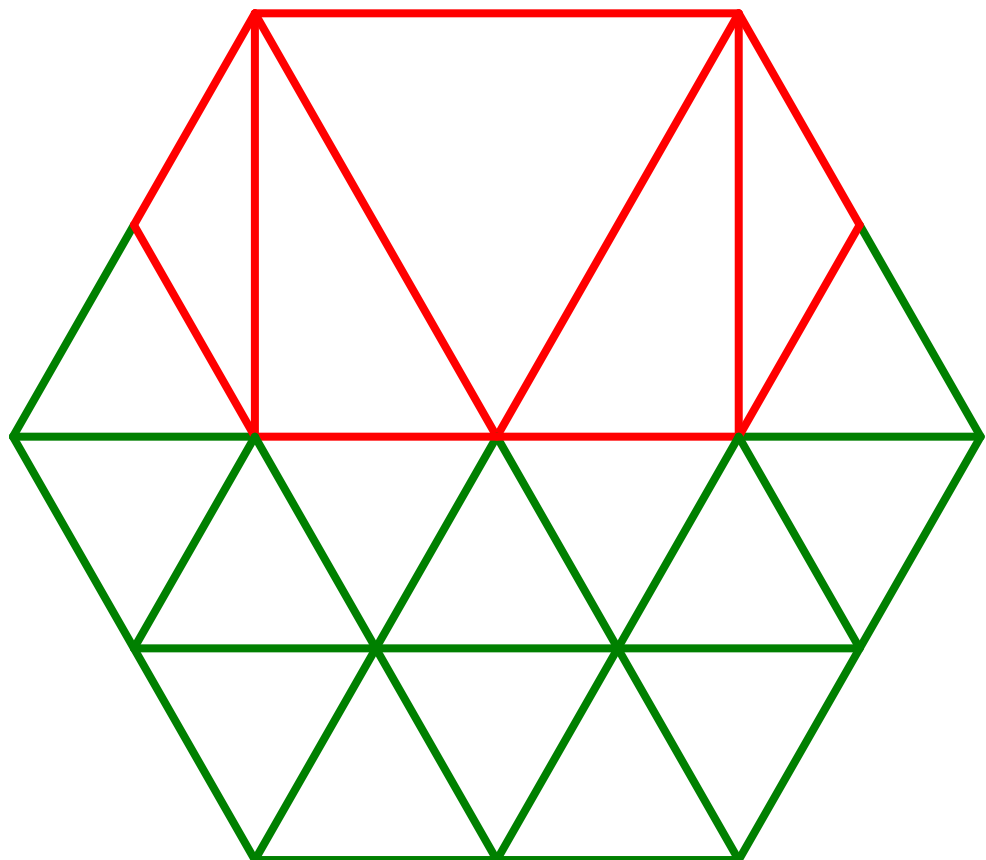
詳細化後



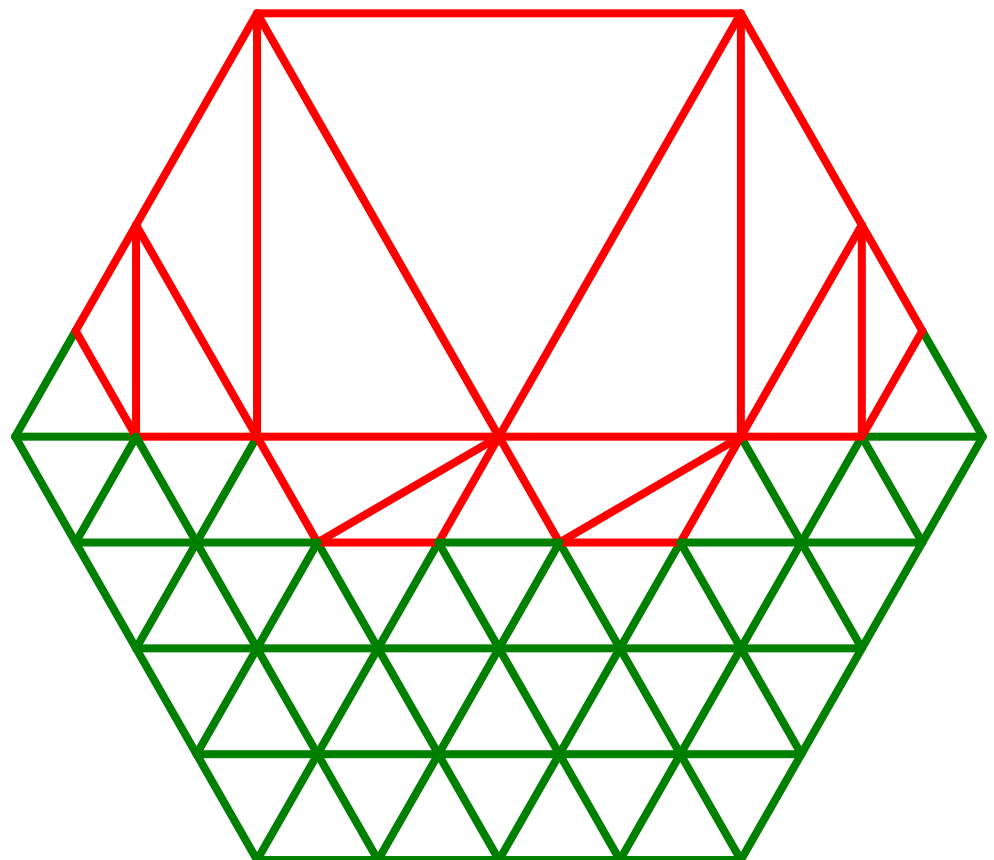
本研究の手法

—— 詳細化可
—— 詳細化不可

詳細化前



詳細化後

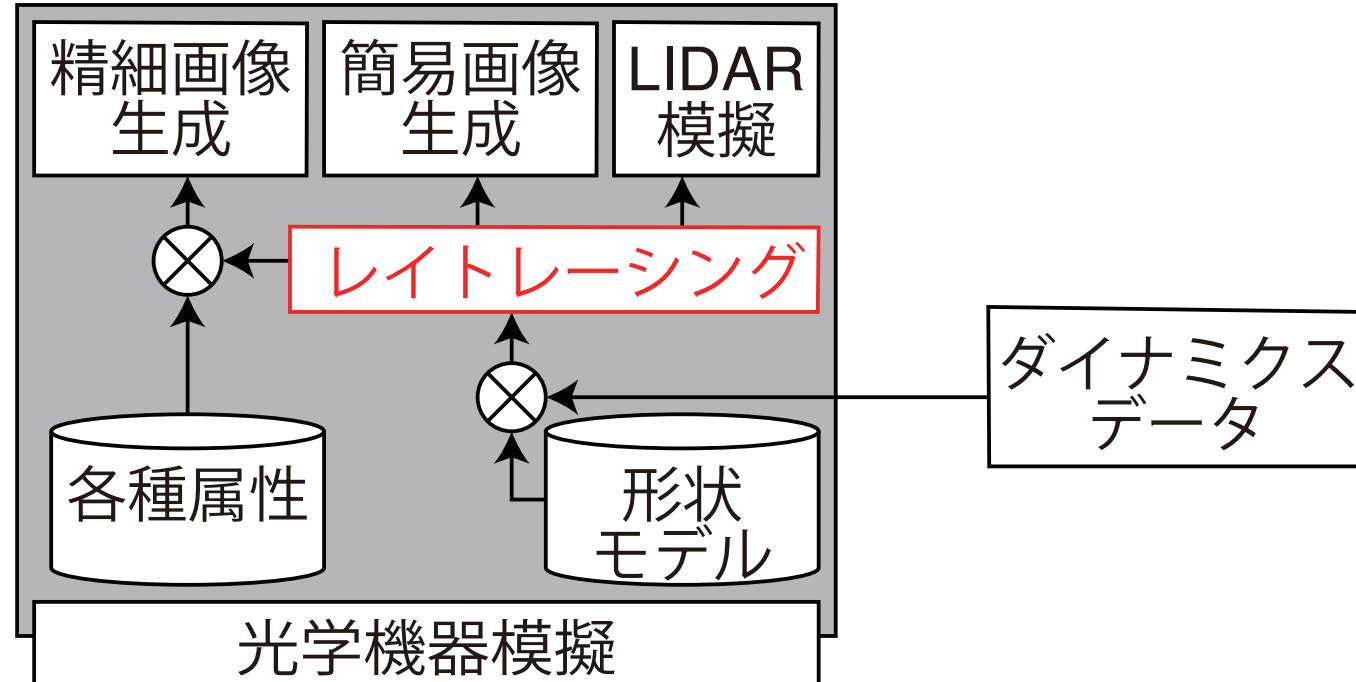


レンダリング

- ・ 画像生成用エンジン
- ・ 地質等の属性、計算アルゴリズム
- ・ 光源属性の追加
- ・ レンダリング時の詳細化

画像生成用エンジン

- ・リュウゴイドの画像生成装置用エンジンに機能付加



リュウゴイド画像生成の光学機器模擬部分(概略)

三浦昭, 武井悠人, 山口智宏, 高橋忠輝, 佐伯孝尚, “「はやぶさ2」ハードウェアシミュレータに係るレイトレーシングソフトウェアの開発と評価”, 宇宙科学情報解析論文誌第8号, 2019

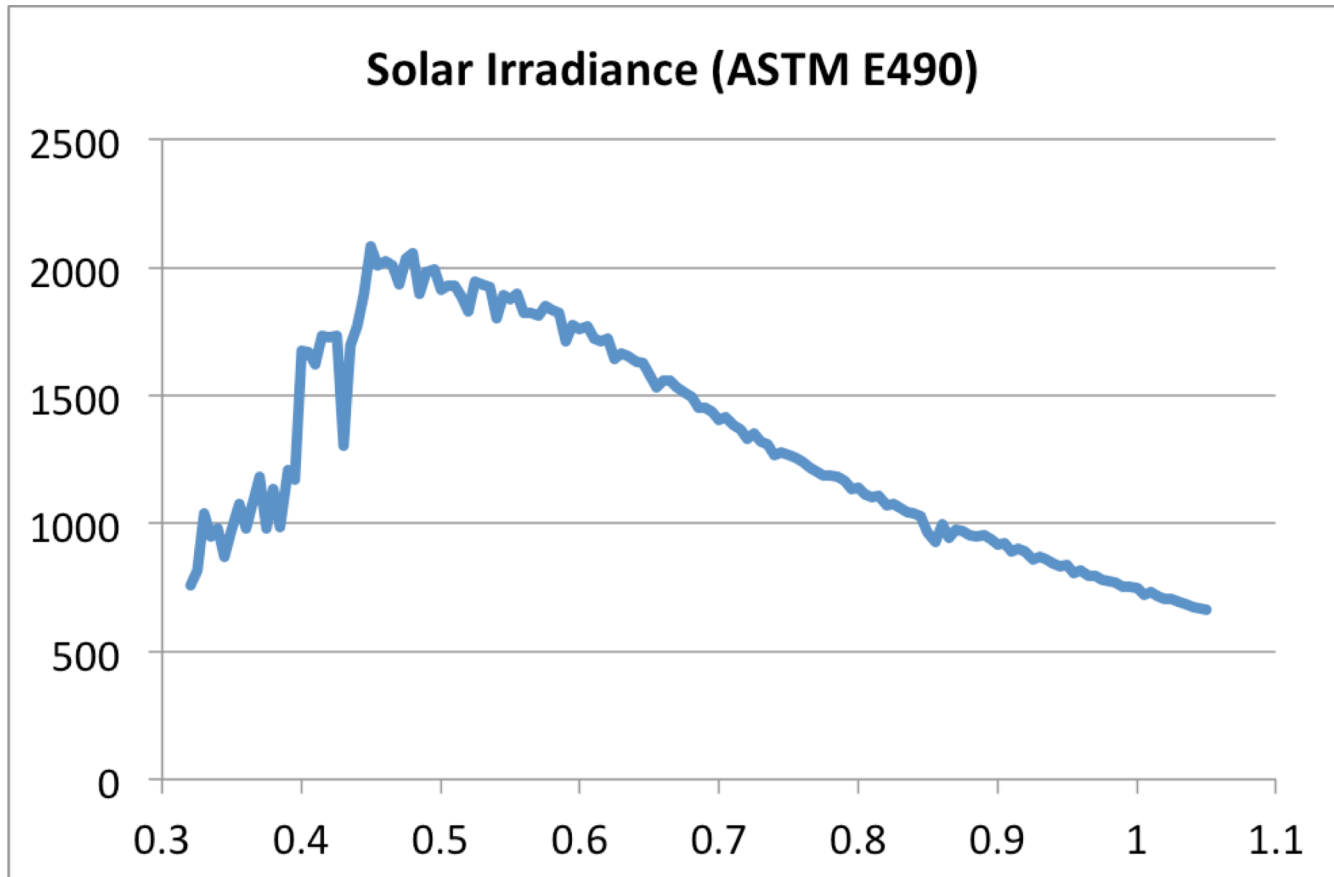
地質等の属性

- ・リュウグウの観測に基づいた地質属性パラメータ整備
- ・撮像値演算アルゴリズム追加(進行中)
 - LSLモデル
 - Phong shading
- ・ターゲットマーカ(再帰性反射シート)の模擬

Y. Yokota et al., “Photometric Correction of Ryugu Multiband Visible Image Data”, DPS meeting #50, id.411.11, 2018.

光源

- 一般的なCGソフトとの相違点
 - スペクトル分布を考慮
 - 手法はリュウゴイド模擬を踏襲
- 太陽光
 - スペクトル分布
 - 点光源



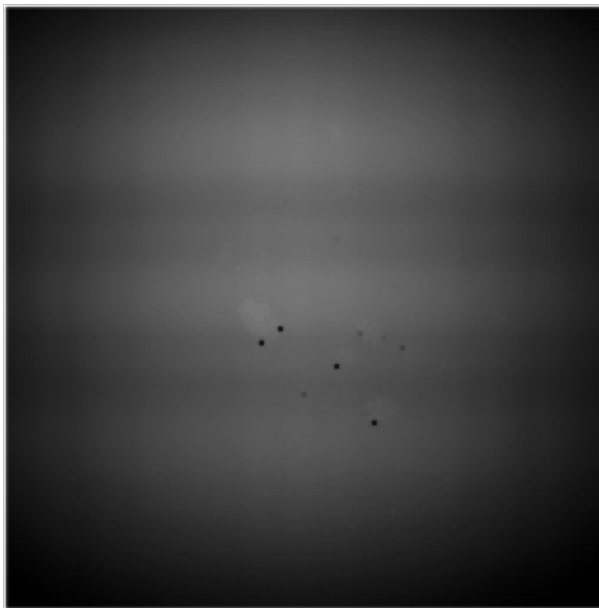
ASTM E490: Standard Solar Constant and Zero Air Mass Solar Spectral Irradiance Tables

光源

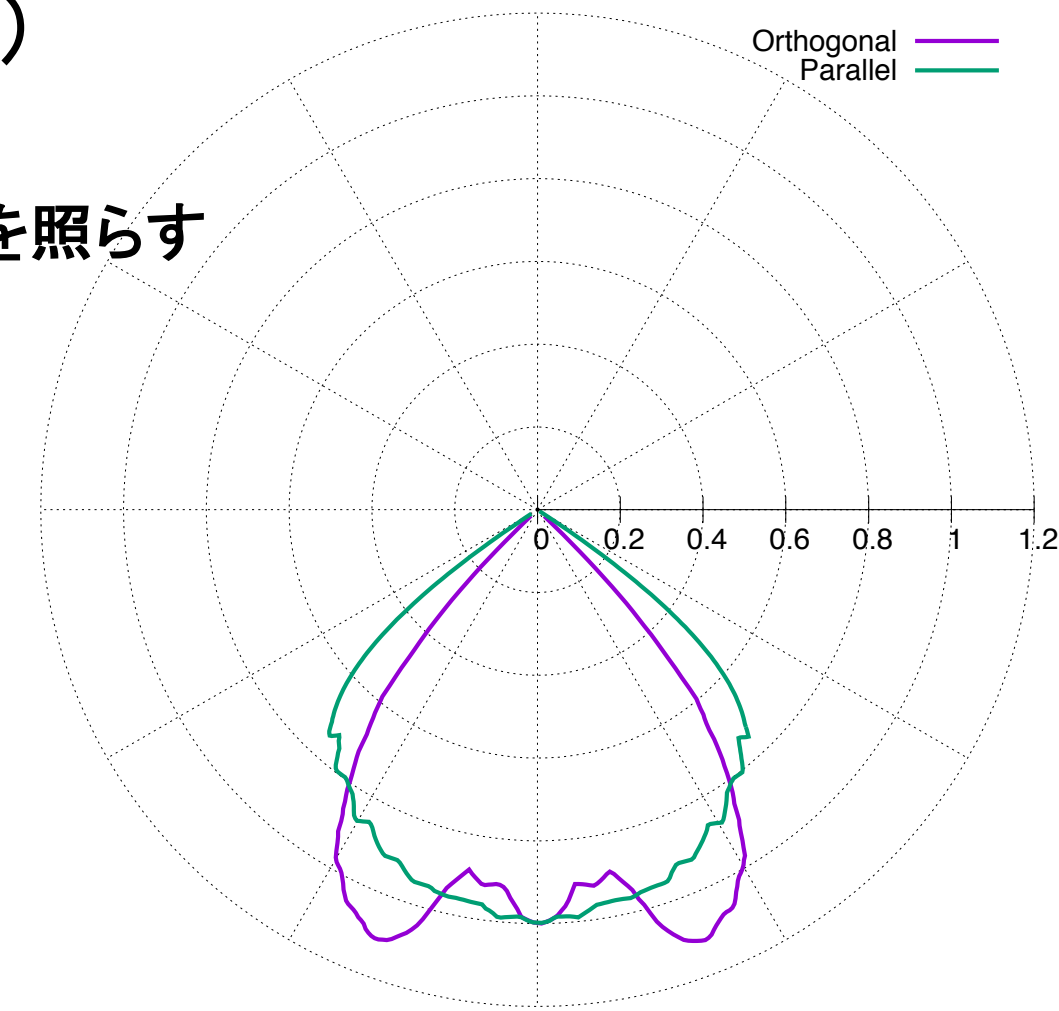
- 一般的なCGソフトとの相違点
 - スペクトル分布を考慮
 - 手法はリュウゴイド模擬を踏襲
- 太陽光
 - スペクトル分布
 - 点光源
- フラッシュランプ(新規)
 - スペクトル分布
 - 配光特性

光源

- 配光特性模擬機能(新規)
 - フラッシュランプ
 - 概ねONC-W1の撮像範囲を照らす



撮像模擬例(フラッシュランプのみ)
A. Miura et al., DPS meeting #50,
id.411.10, 2018.

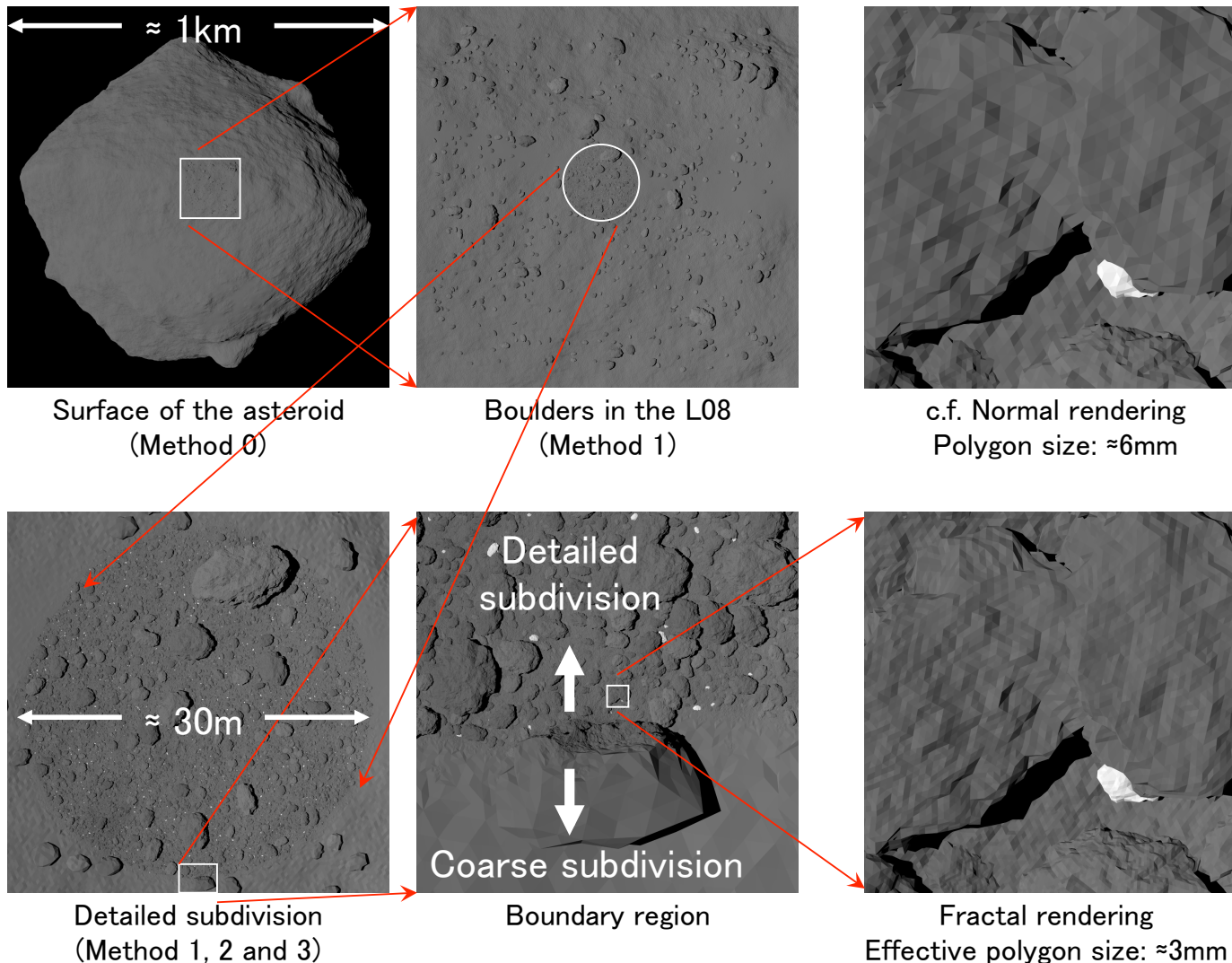


配光特性
『はやぶさ2 飛翔計画書』から推定

レンダリング時の詳細化

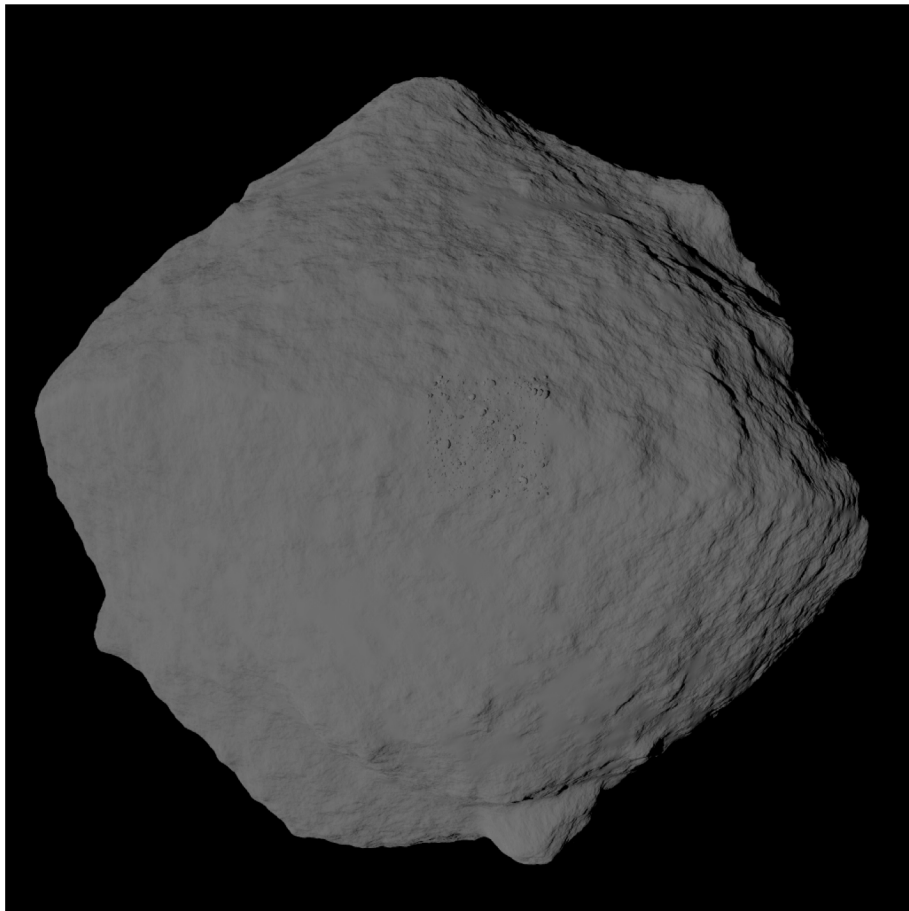
- モデリングによる詳細化の限界を補う
 - レンダリング時のフラクタル演算
 - エッジや影(shadow)の計算は形状モデルに従う
 - 陰(shading)の計算は中点変位法を適用

局所的細分化 レンダリング例

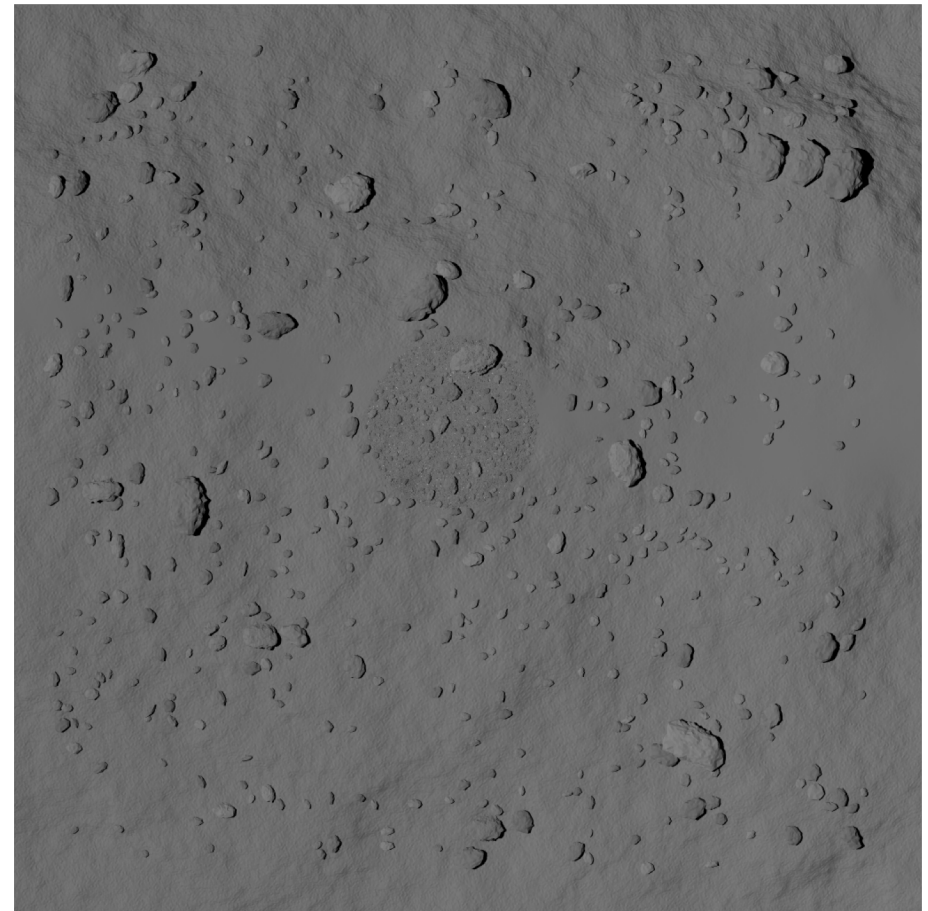


A. Miura et al., “Simulation of proximity imaging of Ryugu’s surface during Hayabusa2 touch-down sequence”, DPS meeting #50, id.411.10, 2018.

局所的細分化 レンダリング例



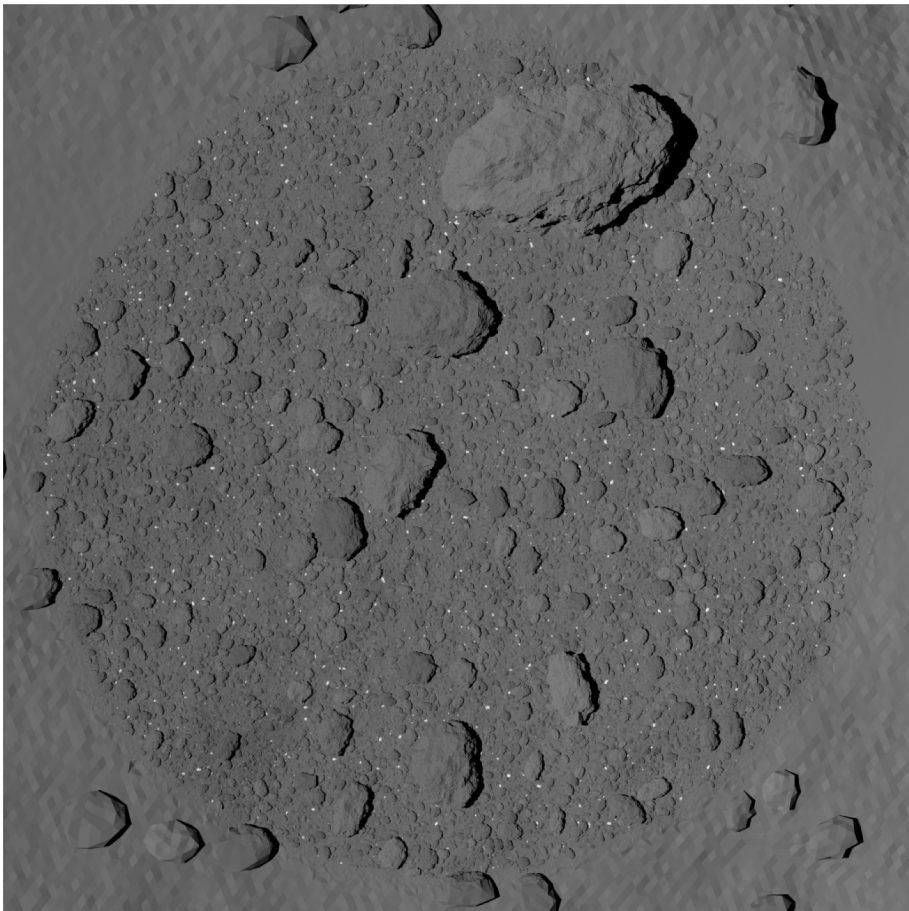
全景



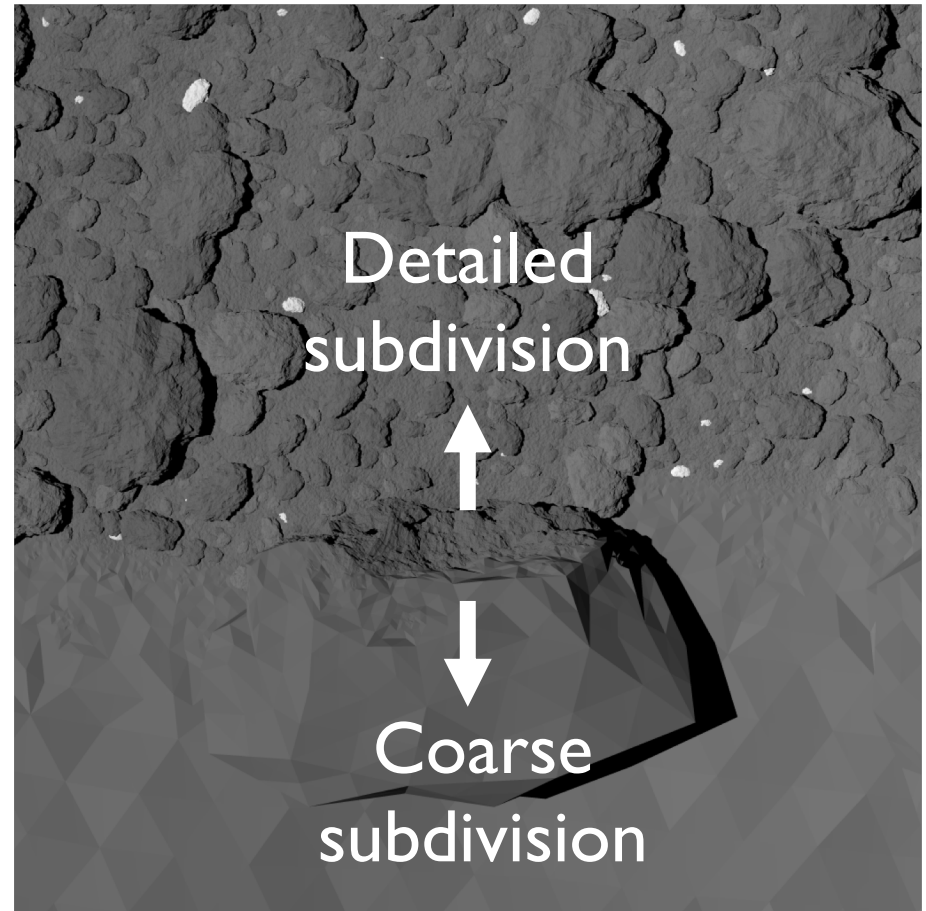
大型の岩石分布

A. Miura et al., “Simulation of proximity imaging of Ryugu’s surface during Hayabusa2 touch-down sequence”, DPS meeting #50, id.411.10, 2018.

局所的細分化 レンダリング例



中型の岩石分布



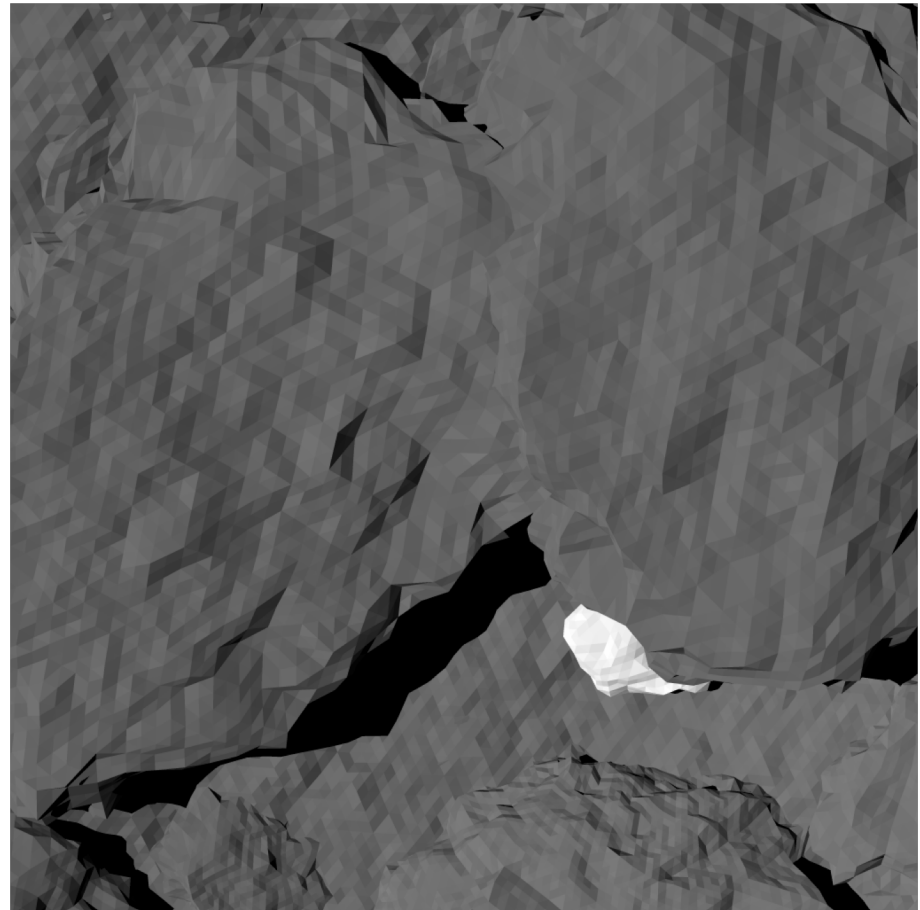
境界領域

A. Miura et al., “Simulation of proximity imaging of Ryugu’s surface during Hayabusa2 touch-down sequence”, DPS meeting #50, id.411.10, 2018.

局所的細分化 レンダリング例



通常のレンダリング

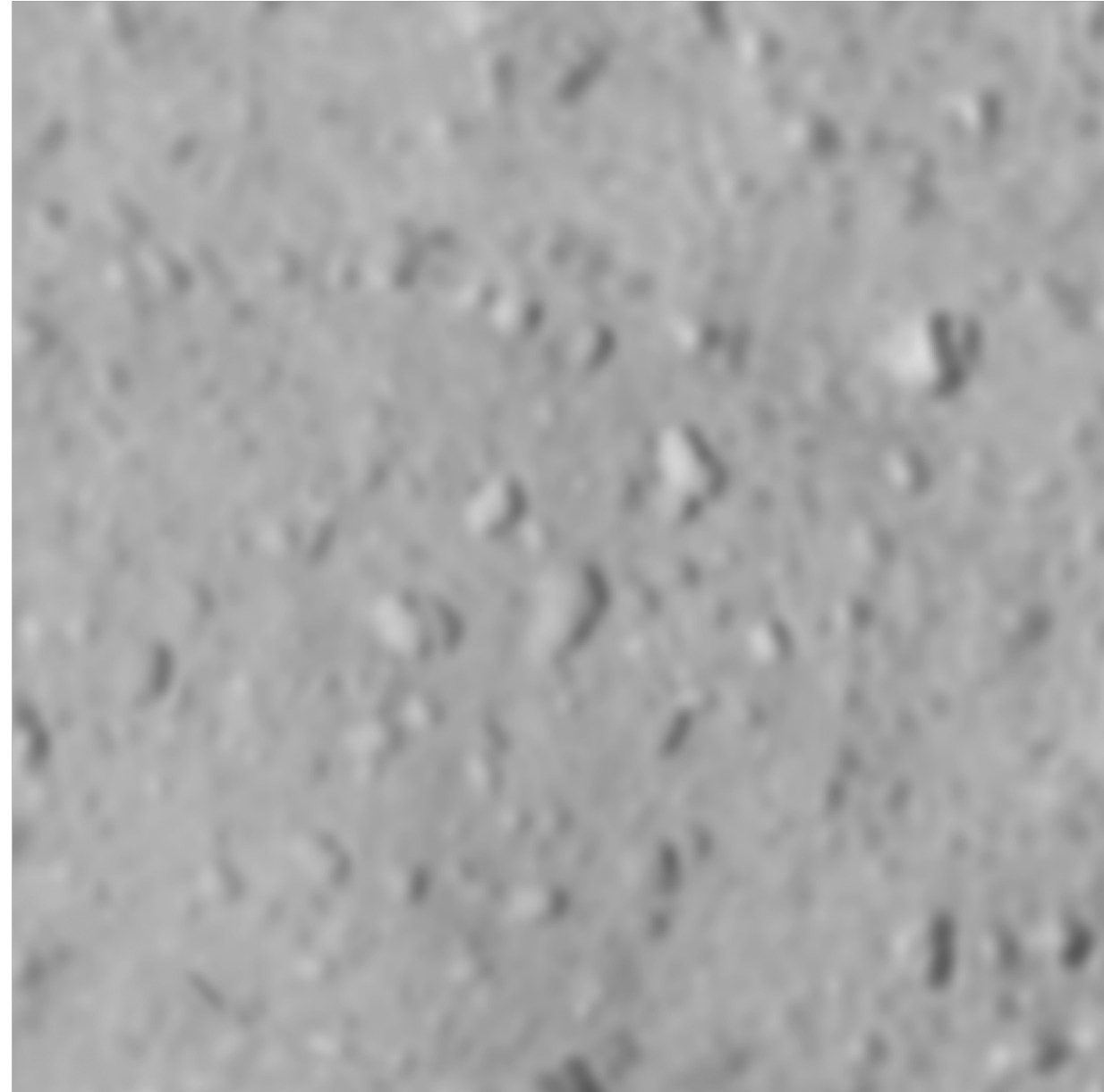


フラクタル付のレンダリング

A. Miura et al., “Simulation of proximity imaging of Ryugu’s surface during Hayabusa2 touch-down sequence”, DPS meeting #50, id.411.10, 2018.

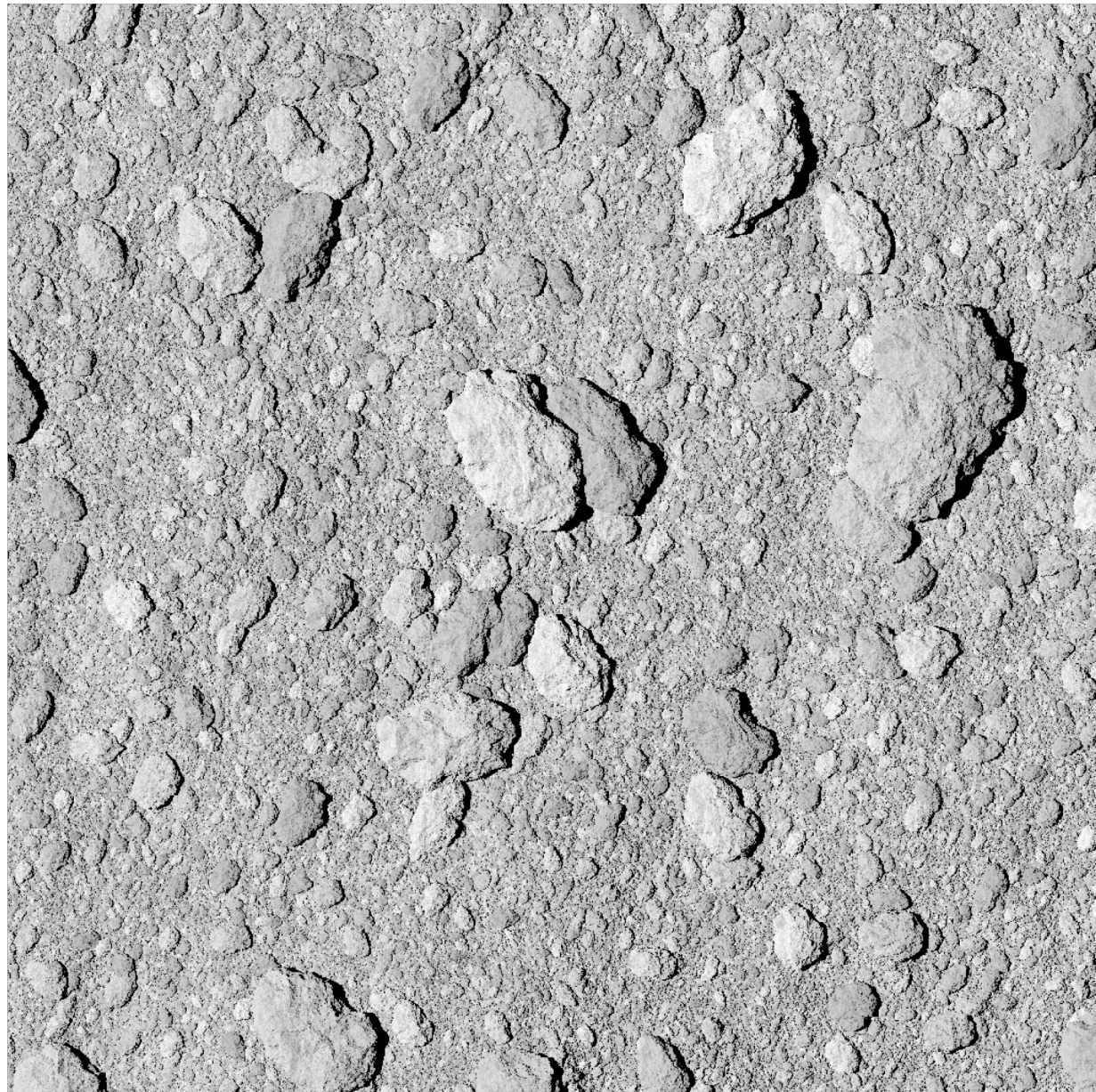
リアリティ

- レンダリング例
- 実データと本研究のCGとの合成例
 - 2018年8月のデータ
 - 面積比は半々程度
 - 実データ風のぼかし



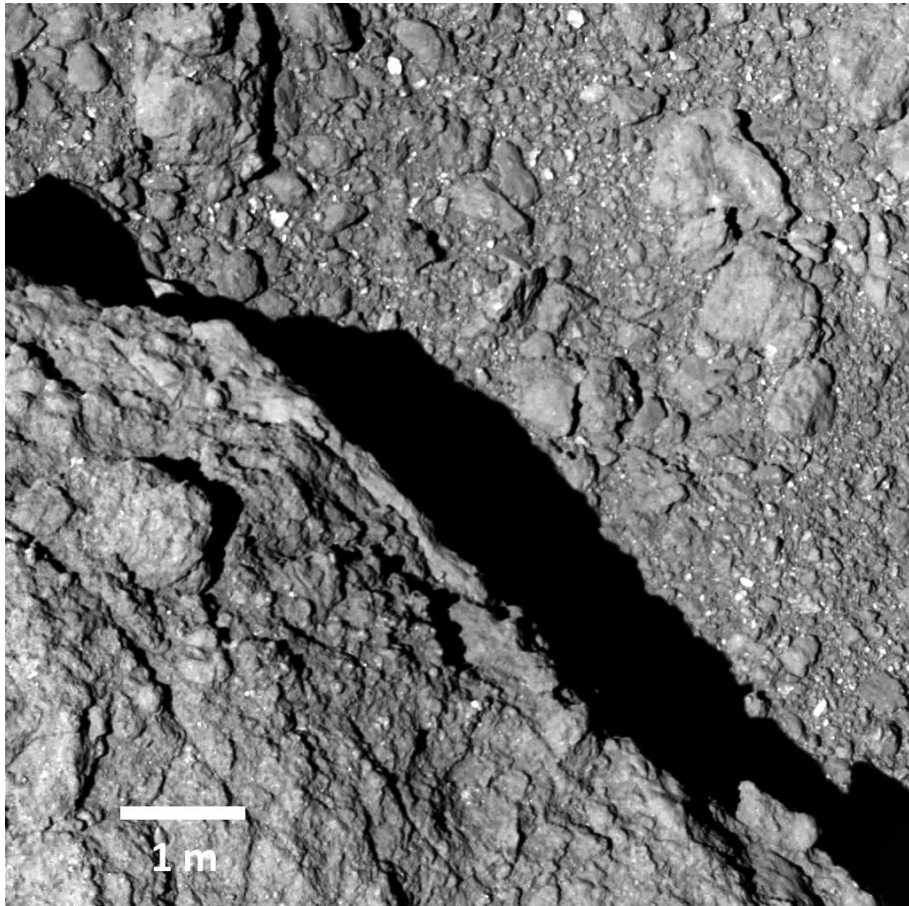
リアリティ

- ぼかしの無い画像
– (拡大)



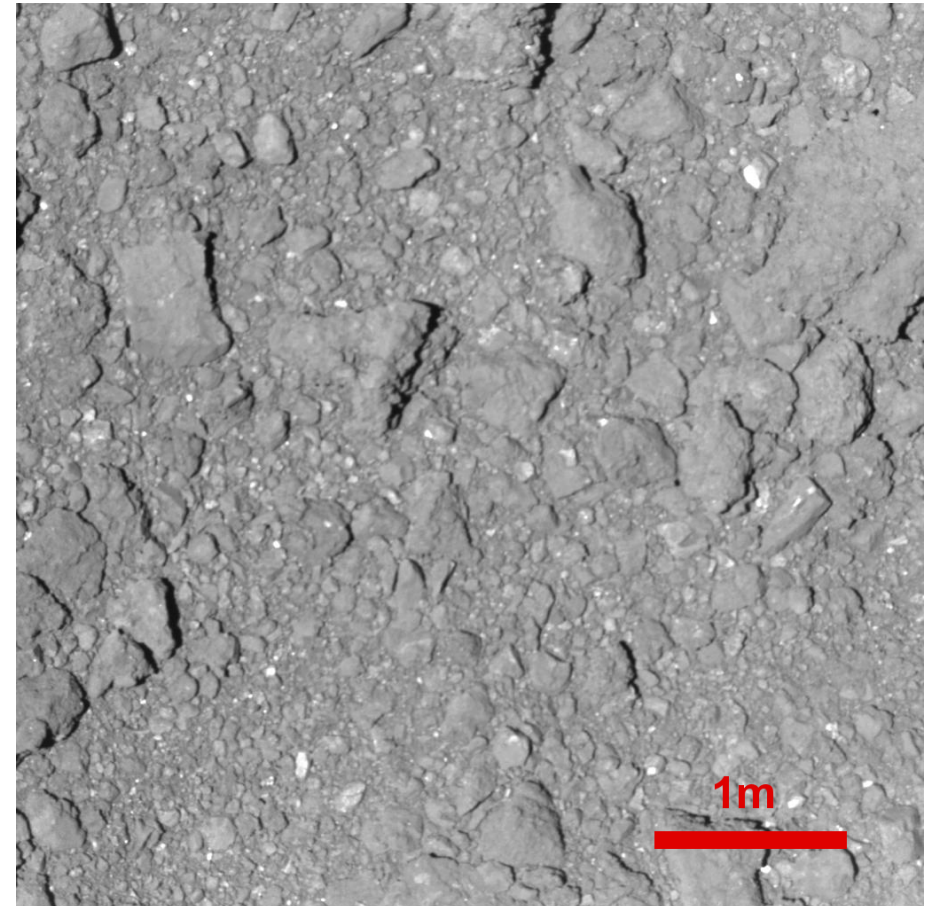
リアリティ

- 実画像の例
 - リアリティをどう評価するか?



http://www.hayabusa2.jaxa.jp/topics/20180927_HighestRes/

2019/2/15



http://www.hayabusa2.jaxa.jp/topics/20181026_TD1R1A_ONCT/

小惑星モデルについての検討 - 局所的詳細化及び係るレンダリング手法 -

39

現状と今後の展開

- バリエーション
 - SCI(インパクタ)分離時の模擬画像生成に応用
 - フラッシュ撮影
 - 再帰性反射素材
- 現状(進行中)
 - 1回目のタッチダウンに向けて、模擬画像を生成
- 課題
 - 手法の評価
 - 訓練や評価に耐えうるリアリティとは.....